



VYSOKÉ UČENÍ TECHNICKÉ V BRNĚ
BRNO UNIVERSITY OF TECHNOLOGY

FAKULTA INFORMAČNÍCH TECHNOLOGIÍ
FACULTY OF INFORMATION TECHNOLOGY

ÚSTAV POČÍTAČOVÉ GRAFIKY A MULTIMÉDIÍ
DEPARTMENT OF COMPUTER GRAPHICS AND MULTIMEDIA

**VYUŽITÍ HLUBOKÉHO UČENÍ PRO ROZPOZNÁNÍ TEXTU
V OBRAZU GRAFICKÉHO UŽIVATELSKÉHO ROZHRANÍ**
DEEP LEARNING FOR OCR IN GUI

DIPLOMOVÁ PRÁCE
MASTER'S THESIS

AUTOR PRÁCE
AUTHOR

Bc. PAVEL HAMERNÍK

VEDOUCÍ PRÁCE
SUPERVISOR

Ing. TOMÁŠ LYSEK

BRNO 2019

Zadání diplomové práce



22173

Student: **Hamerník Pavel, Bc.**

Program: Informační technologie Obor: Počítačová grafika a multimédia

Název: **Využití hlubokého učení pro rozpoznání textu v obrazu grafického uživatelského rozhraní**

Deep Learning for OCR in GUI

Kategorie: Zpracování obrazu

Zadání:

1. Prostudujte si základy hlubokého učení (deep learning) se zaměřením na konvoluční neuronové sítě.
2. Vytvořte si přehled o používaných technikách pro rozpoznání textu v obrazu a prostudujte služby/knihovny, které toto rozpoznaní nabízejí.
3. Obstarajte nebo si vygenerujte vhodnou datovou sadu pro experimenty obsahující anotované obrazy grafických uživatelských rozhraní (může být i webové rozhraní).
4. Otestujte existující služby/knihovny na této datové sadě, zanalyzujte výsledky a navrhněte vlastní metodu, pomocí které se budeš snažit tyto výsledky napodobit případně dosáhnout lepších výsledků.
5. Implementujte navrženou metodu a provedete experimenty nad datovou sadou pomocí vlastní metody.
6. Porovnejte dosažené výsledky a diskutujte možnost dalšího vývoje.

Literatura:

- <http://www.deeplearningbook.org/>

Při obhajobě semestrální části projektu je požadováno:

- Body 1 až 4.

Podrobné závazné pokyny pro vypracování práce viz <http://www.fit.vutbr.cz/info/szz/>

Vedoucí práce: **Lysek Tomáš, Ing.**

Vedoucí ústavu: Černocký Jan, doc. Dr. Ing.

Datum zadání: 1. listopadu 2018

Datum odevzdání: 22. května 2019

Datum schválení: 1. listopadu 2018

Abstrakt

Optické rozpoznání znaků (OCR) je již mnoho let oblastí zájmu. Je definován jako proces digitalizace obrazu dokumentu do sekvence znaků. Navzdory desetiletím intenzivních výzkumů jsou systémy OCR, které jsou srovnatelné s lidským zrakem, stále otevřenou výzvou. V této práci je vytvořen návrh takového systému, je implementován, který je schopen detektovat text v grafických uživatelských rozhraních.

Abstract

Optical character recognition (OCR) has been a topic of interest for many years. It is defined as the process of digitizing a document image into a sequence of characters. Despite decades of intense research, OCR systems with capabilities to that of human still remains an open challenge. In this work there is presented a design and implementation of such system, which is capable of detecting texts in graphical user interfaces.

Klíčová slova

rozpoznání textu, neuronové sítě, konvoluční neuronové sítě, CNN, LSTM, rekurentní neuronové sítě, RNN, hluboké učení neuronových sítí, OCR

Keywords

text recognition, neural network, convolutional neural network, CNN, LSTM, recurrent neural network, RNN, deep learning, OCR

Citace

HAMERNÍK, Pavel. *Využití hlubokého učení pro rozpoznání textu v obrazu grafického uživatelského rozhraní*. Brno, 2019. Diplomová práce. Vysoké učení technické v Brně, Fakulta informačních technologií. Vedoucí práce Ing. Tomáš Lysek

Využití hlubokého učení pro rozpoznání textu v obrazu grafického uživatelského rozhraní

Prohlášení

Prohlašuji, že jsem tuto semestrální práci vypracoval samostatně pod vedením pana Ing. Tomáše Lyska. Uvedl jsem všechny literární prameny a publikace, ze kterých jsem čerpal.

.....
Pavel Hamerník
22. května 2019

Poděkování

Chtěl bych poděkovat svému vedoucímu diplomové práce Ing. Tomáši Lyskovi, za odborné vedení, za pomoc a rady při zpracování této práce. Dále bych chtěl poděkovat rodině a svým nejbližším přátelům za jejich podporu, motivaci a korekturu při psaní práce.

Obsah

1	Úvod	3
2	Neuronové sítě	4
2.1	Architektury sítí	4
2.2	Kódování	6
2.3	Aktivacní funkce	7
2.4	Vrstvy neuronových sítí	10
2.5	Ucení sítí	14
3	Technologie zpracování textu	17
3.1	Rozpoznání textu	17
3.2	Metriky porovnání	17
3.3	Existující rešení	19
4	Datová sada	21
4.1	Texty	22
4.2	Styly	22
4.3	Generování testovací datové sady	22
5	Návrh rešení	24
5.1	Detekce textu	24
5.2	Prostorová transformace	25
5.3	Rozpoznání textu	25
6	Implementace	26
6.1	Použité technologie	26
6.2	Rozdelení systému	27
6.3	Residuální sít	28
6.4	Predikce regionu	30
6.5	Extrakce regionu	35
6.6	Rozpoznání textu	38
6.7	Problémy, složitost	41
7	Experimenty	42
8	Záver	45
	Literatura	46

Kapitola 1

Úvod

Optické rozpoznání znaku (Optical Character Recognition dále jen OCR) je software který dokáže prevést tištěný text a obrázky do digitalizované podoby se kterou muže být manipulováno počítačem. Na rozdíl od lidského mozku, který dokáže velmi jednoduše rozpoznat text z obrázku, algoritmy dostatečne inteligentní, aby dokázaly vnímat informaci dostupnou z obrazu. Proto bylo vloženo velké úsilí na vytvořit software, který se snaží transformovat obraz dokumentu do podoby, která je srozumitelná pro počítač. OCR je velmi rozsáhlý problém kvůli velkému množství jazyku, stylu a písem, kterými mužeme vyjádrit text. Techniky z různých oborů výpočetní techniky se využívají pro řešení různých výzev tohoto systému.

V této práci je prezentován návrh systému OCR, pro detekci textu v grafických uživatelských rozhraních. Toho bude využito v rámci technologií RPA (Robotic process Automation) pro ovládání testu případně obecnou automatizaci pouze na základě obrazových vlastností. V kapitole 2 si predstavíme technologie neuronových sítí. V kapitole 3 jsou uvedeny technologie zpracování textu, které zahrnují základní princip algoritmu rozpoznání textu a metriky pro porovnání kvality výsledku techto algoritmu. Dále v kapitole 4 je popsán nástroj „gui-generator“ a jeho rozšíření, které bylo využito pro vytvoření datové sady určené k trénování i vyhodnocení algoritmu. Kapitola 5 obsahuje návrh neuronového modelu, pomocí nehož jsme schopni rozpoznat texty v grafických uživatelských rozhraních a v kapitole 6 je popis jeho implementace. Výsledky a zhodnocení algoritmu se nachází v kapitole 7.

Kapitola 2

Neuronové sítě

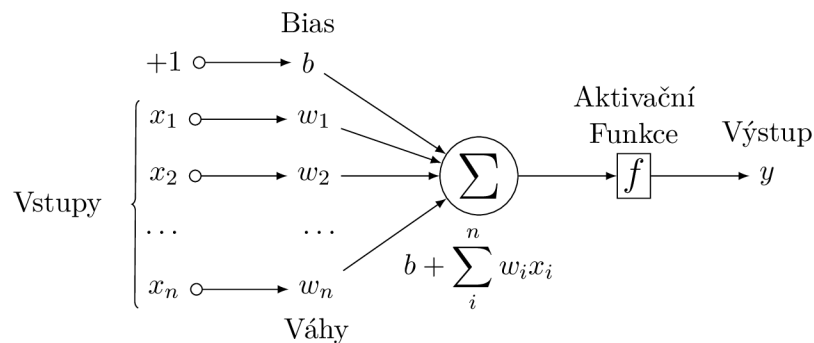
2.1 Architektury sítí

Neuronová síť je výpočetní model používaný v umělé inteligenci. Vzorem neuronových sítí je biologický model lidského mozku. Neuronové sítě se používají pro radu úkolů jako jsou detekce a rozpoznání, regrese velicin, aj. S příchodem hlubokého učení neuronových sítí nabyla na velké popularitě resit s pomocí nich složitější úkoly a pracovat s naučenými sítěmi jako s tzv. „cernou skrínkou“ (anglicky black box). To znamená, že očekáváme od sítí nejakou funkčnost, ale jak jí dosáhne, nejistíme.

V následujících podkapitolách si ukážeme, jak pracuje klasická neuronová síť (kap. 2.1.1). Další kapitolou (2.1.2) bude konvoluční neuronová síť určená pro zpracování většího objemu dat například obrázku. V kapitole 2.3 si ukážeme aktivacní funkce neuronových sítí.

2.1.1 Klasické neuronové sítě

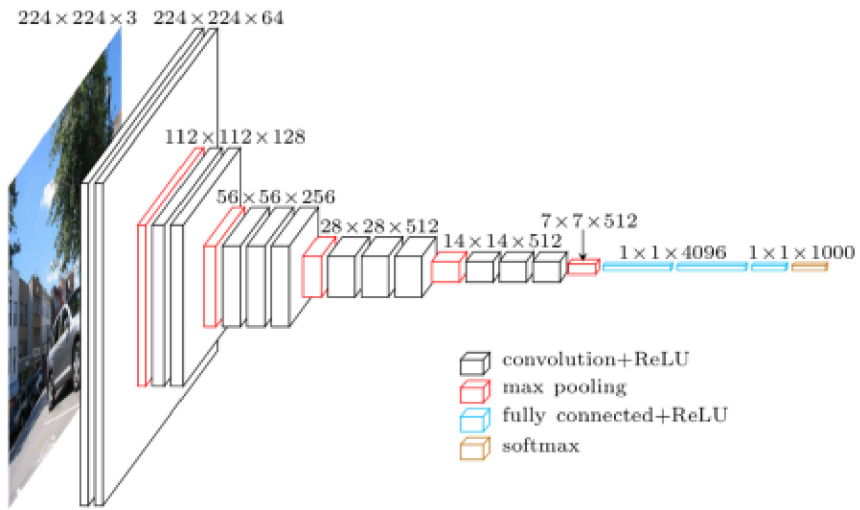
Základním stavebním kamenem softwarových neuronových sítí je neuron (dříve nazývaný perceptron). Každý neuron se skládá z tří hlavních částí. Vstupní část obsahuje všechny vstupní signály, které putují do neuronu. Každý z těchto vstupů je navíc ohodnocen váhou, která slouží k posílení, nebo potlacení síly daného vstupu. Další částí je telo neuronu, které shrne všechny hodnoty vstupu včetně jejich vah do jedné hodnoty. Na tuto hodnotu se aplikuje aktivacní funkce neuronu a jejím výsledkem je i výsledek celého neuronu [6]. Výpočetní model neuronu si můžete prohlédnout na obrázku 2.1.



Obrázek 2.1: Výpočetní model neuronu.

2.1.2 Konvolucní neuronové sítě

Konvolucní sítě jsou speciálním druhem vícevrstvých neuronových sítí. Používají vizuálních vzoru prímo z pixelu obrazu. Vychází z principu neocognitronové sítě, která byla poprvé predstavena v 80. letech K. Fukushima. Neocognitron využívá velké množství neuronových vrstev a obsahuje variabilní propojení mezi bunkami sousedních vrstev. Cílem této sítě je identifikace objektu podle jejich obecné podobnosti. Typickou konvolucní sítě mužeme pozorovat na obrázku 2.2 a je možné pozorovat, že se skládá z mnoha vrstev. Dalším charakteristickým znakem konvolucních sítí je získávání vlastností obrazu z recepcních polí, sdílení vah v rámci konvolucní vrstvy a prostorové vzorkování. [6]

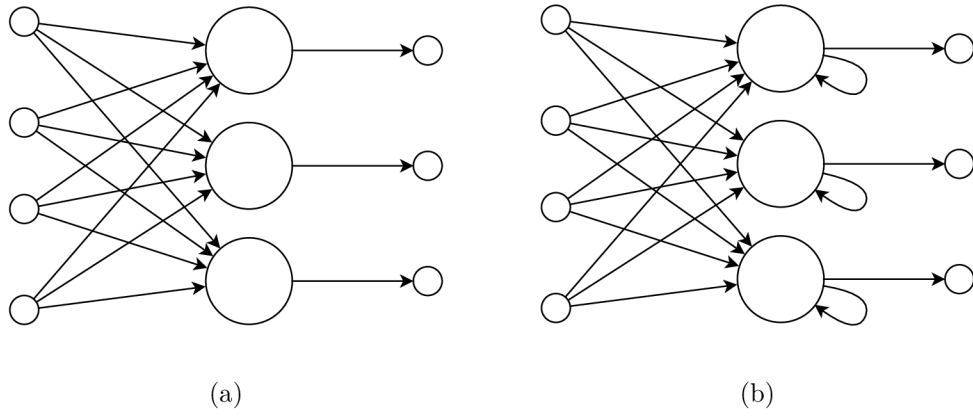


Obrázek 2.2: Ilustrace konvolucní neuronové sítě. Zdroj <https://blog.heuritech.com/2016/02/29/a-brief-report-of-the-heuritech-deep-learning-meetup-5/>

2.1.3 Rekurentní neuronové sítě

Rekurentní neuronové sítě (dále jen RNN) pochází ze stejné doby jako mnoho dalších algoritmu hlubokého učení. Poprvé byly predstaveny v 80. letech, ale jejich plného potenciálu nebylo donedávna možné využít zejména kvuli vysoké výpočetní náročnosti. Výrazem rekurentní neuronové sítě označujeme dve široké kategorie s podobnou obecnou strukturou. Jedna z nich je síť s konečnou odeszvou, tento typ sítě se dá vyjádřit pomocí orientovaného acyklického grafu, který je možné rozbalit a díky tomu je celou sít možné nahradit doprednou sítí. Rekurentní síť s nekonečnou odeszvou lze reprezentovat orientovaným cyklickým grafem, který není možné redukovat na doprednou sít. [11]

RNN využívají interní pamet, která jim umožnuje si zapamatovat informace z přijatých vstupů. Díky tomu dokážou být velmi presné v predikci následujících hodnot. Z tohoto důvodu jsou preferovanou sítí pri práci se sekvenčními daty (například casová posloupnost zvukových dat), protože ze zpracovávaných dat dokáží porozumet hlubšímu významu jejich posloupnosti oproti ostatním algoritmu.



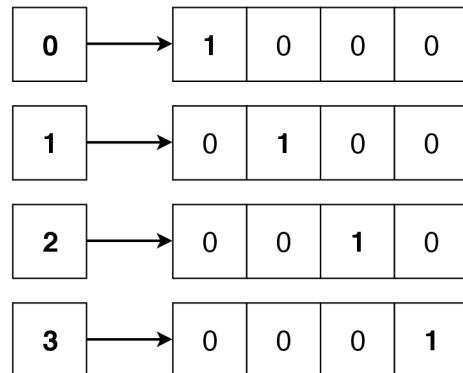
Obrázek 2.3: Struktura dopredné neuronové vrstvy (a) oproti rekurentní neuronové vrstve (b).

2.2 Kódování

V neuronových sítích je casto potreba informace zakódovat do reprezentace, která je pro neuronovou síť užitečnejší. Díky nim se dokáží lépe učit, případne reprezentovat data stylem, který zjednoduší neuronové sítě práci. Nejpoužívanejší z nich jsou dále predstaveny.

2.2.1 One-hot kódování

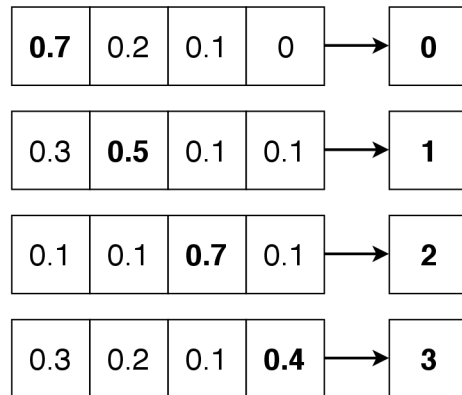
One-hot¹ kódování (v anglictine se také nazývá dummy variable) vyjadruje pomocí hodnoty 0 nebo 1 absenci nebo prítomnost jisté kategorie. Toto kódování je užitečné zejména pro rozdelení dat do vzájemně vylucujících kategorií (například. pes, kocka). Na hodnoty zakódovaných kategorií se mužeme také dívat jako na míru pravdepodobnosti výskytu jednotlivých kategorií v datech. To je důvodem, proc je toto kódování hojne používáno komunitou zabývající se strojovým ucením, a to zejména v oblasti klasifikace objektu. Príklad zakódování informace do vektoru míry pravdepodobnosti mužeme pozorovat v obrázku 2.4.



Obrázek 2.4: Ukázka one-hot kódování pro 4 trídy.

Dekódování hodnoty z one-hot reprezentace provedeme získáním kategorie s nejvyšší mírou pravdepodobnosti. Príklad výstupu z neuronové sítě a jeho dekódování mužeme pozorovat na obrázku 2.5.

¹V české literatuře se také mužeme setkat s názvem kódování 1 z N.

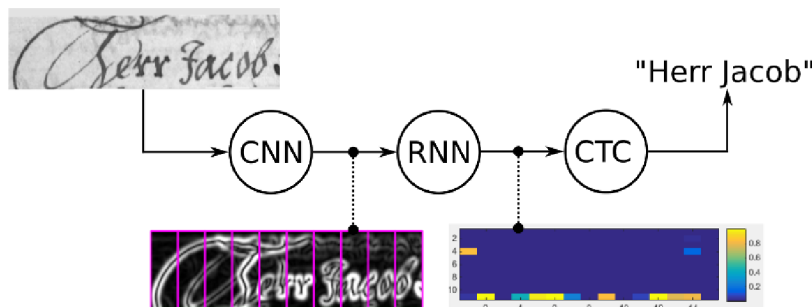


Obrázek 2.5: Ukázka dekódování one-hot výstupu pro 4 trídy.

2.2.2 Connectionist temporal classification

Je velmi užitečnou operací používanou v rekurentních neuronových sítích [7]. Jedná se o způsob, jak naucit neuronovou síť požadovanou sekvenci, která však může mít mnohem menší počet casových kroků. Tato operace je často používána v rámci algoritmu pro rozpoznání textu, či hlasu, kde umožnuje síti se naucit sekvenci vzoru, které jsou mnohem menší než sekvence, které na tyto vzory chceme naucit. Obsahuje-li sekvence více po sobě jdoucích casových kroků stejnou hodnotu, pak se jedná o jeden znak s touto hodnotou. CTC navíc přidává do slovníku speciální znak, nazývaný blank. Ten slouží jako oddelovač mezi znaky a umožnuje vytvoření sekvence ze stejného znaku, aniž by byl považován za duplikátní při použití blanku mezi temito elementy. Níže jsou uvedeny příklady, jak je možné pomocí CTC reprezentovat nekterá slova:

- "auto" → "---aaa-u-tttttt-o", "-a-u-t-o-", nebo "auto"
- "book" → "booooooo---ok", "-b-o-o-k-", nebo "bo-ok".



Obrázek 2.6: Kombinace sítí s CTC. Zdroj: <https://towardsdatascience.com>

2.3 Aktivacní funkce

Aktivacní funkce je hlavní složkou každé neuronové sítě. Je aplikována na agregované hodnoty výstupu neuronu a slouží jako hlavní výstup neuronu, označováno jako aktivace neuronu. Tato funkce je lineární i nelineární a také diferencovatelná, tudíž je možné nalézt

smer rustu této funkce (gradient funkce). Gradientu je potreba pro učení neuronové sítě. Hodnota aktivace neuronu je rízena následující funkcí:

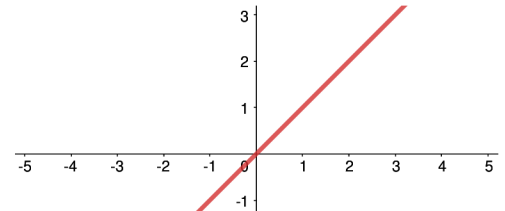
$$y = f \left(\sum_i w_i x_i + b \right) \quad (2.1)$$

, kde parametr w_i reprezentuje váhu jednotlivých vstupu x_i a parametr b (anglicky bias) se využívá k rozšíření rozhodovacího rozsahu, kterého neuronová síť muže dosáhnout. Pro snadnejší pocítání s tímto parametrem (biasem), se rozširuje vektor vstupu o konstantní 1 (bývá označováno jako x_0), a vektor vah o parametr b na odpovídající pozici dle pridaného vstupu (w_0). Díky této úprave mužeme rovnici výstupu neuronu přepsat do zjednodušené podoby za pomocí skalárního součinu:

$$y = f(\vec{w} \cdot \vec{x}) \quad (2.2)$$

Standardne není-li uvedeno má neuron lineární aktivacní funkci identita. Tato však funkce nijak nepomáhá se složitostí parametru, které jsou posílány neuronovým sítím. Proto je použití nelineárních funkcí vhodnejší. Lineární funkce má však své využití, protože nijak neomezuje výstup tak lze použít pro regresní úlohy nebo je vhodná, pokud chceme použít speciální aktivacní neuronovou vrstvu, která aktivuje neurony na základě všech hodnot neuronu ve vrstve (například Softmax vrstva, více v 2.4.5).

$$f(x) = x \quad (2.3)$$

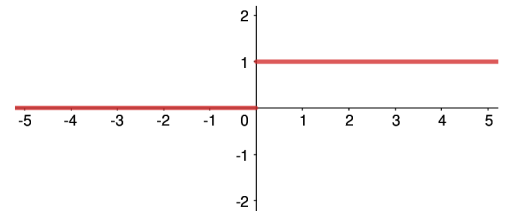


Obrázek 2.7: Aktivacní funkce identita

Pro klasifikacní úlohy jsou od nedávna využívány skoková funkce, sigmoida a hyperbolický tangent. Každá z těchto funkcí prevádí celé vstupní spektrum reálných hodnot do úzkého intervalu hodnot.

Skoková funkce je často spojována s pojmem perceptron. Nabývá pouze dvěma hodnotami, pokud hodnota vstupu prekročí určitý práh. Je vhodná pouze pro jednoduché úlohy. Není diferencovatelná, proto není vhodná pro použití ve vícevrstvých neuronových sítích.

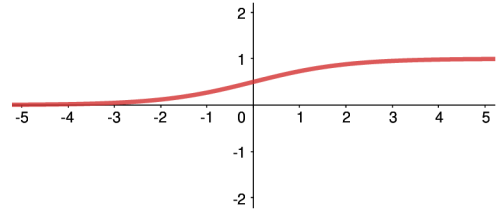
$$f(x) = \begin{cases} 1, & \text{pokud } x > 0 \\ 0, & \text{jinak} \end{cases} \quad (2.4)$$



Obrázek 2.8: Skoková aktivacní funkce

Sigmoidová funkce (také logistická funkce) prevádí vstupní reálné hodnoty do intervalu $(0, 1)$. Je monotónní a diferencovatelná je možné ji využít ve vícevrstvých neuronových sítích. Často se používá pro binární klasifikaci, kdy hodnota určuje míru pravdepodobnosti zkoumaného kritéria. Její nevýhodou je, že se učení neuronové sítě může zaseknout.

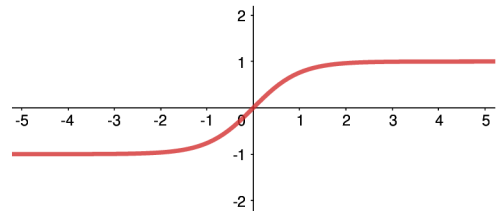
$$f(x) = \frac{1}{1 + e^{-x}} \quad (2.5)$$



Obrázek 2.9: Sigmoidová aktivační funkce.

Hyperbolický tangent je podobný jako sigmoidová funkce. Výhodou této funkce oproti sigmoidové je větší rozsah výstupních hodnot, protože mohou nabývat i záporných hodnot. Funkce má rozsah hodnot v intervalu $(-1, 1)$. Využívá se zejména pro binární klasifikaci.

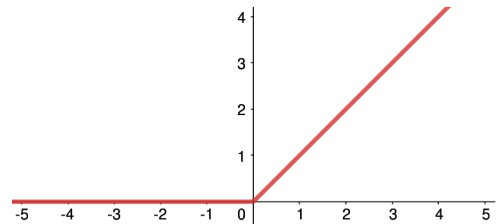
$$f(x) = \frac{e^{2x} - 1}{e^{2x} + 1} \quad (2.6)$$



Obrázek 2.10: Aktivační funkce hyperbolický tangent.

Rectified linear unit (dále jen ReLU) je v současné době nejpoužívanější aktivační funkce. Tato funkce se stala velmi oblíbenou díky svým vlastnostem a snadné implementaci prahováním v 0. Funkce je monotónní stejne je i její derivace. Díky tomu se u neuronových sítí zvyšuje rychlosť ucení.

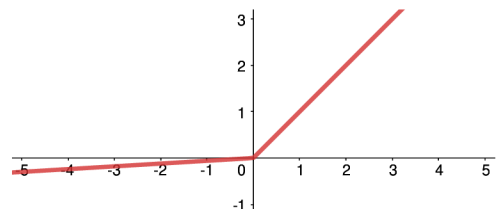
$$f(x) = \begin{cases} x, & \text{pokud } x \geq 0 \\ 0, & \text{jinak} \end{cases} \quad (2.7)$$



Obrázek 2.11: Aktivační funkce ReLU.

Problémem ReLU je že všechny záporné hodnoty jsou mapovány do nuly. Nulové hodnoty jsou v ucení potlacovány, protože mají derivaci v nule. Toto má za následek snížení schopnosti neuronové sítě naucit se daný problém efektivně. Pokusem vyřešit tento problém je Leaky ReLU. Tato funkce mapuje záporné hodnoty pomocí lineární funkce s velmi malým sklonem. Díky tomu nejsou záporné hodnoty potlaceny a mají schopnost se učit.

$$f(x) = \begin{cases} x, & \text{pokud } x \geq 0 \\ 0.01x, & \text{jinak} \end{cases} \quad (2.8)$$



Obrázek 2.12: Aktivační funkce Leaky ReLU.

2.4 Vrstvy neuronových sítí

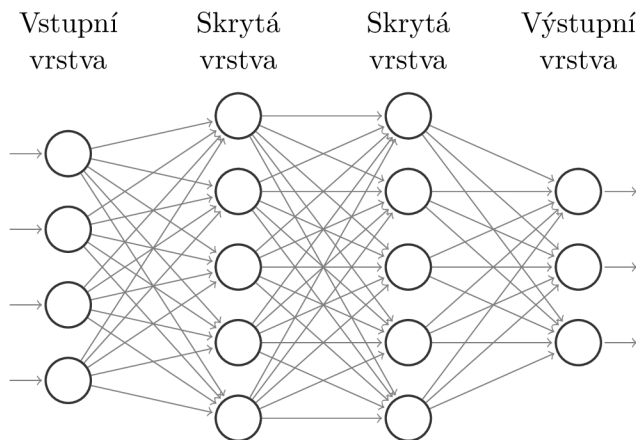
V této sekci jsou uvedeny vrstvy neuronových sítí, které jsou použity v rámci této práce.

2.4.1 Plne propojená vrstva

Plne propojená vrstva, v anglické literatuře se mužeme setkat s názvem fully-connected ci dense layer, jak název vypovídá je vrstva N neuronů a každý z nich je propojený se všemi neuronami vstupní vrstvy. Mužeme ji definovat transformační funkcí

$$y_j = \sum_i^M w_{ij} x_i, \quad (2.9)$$

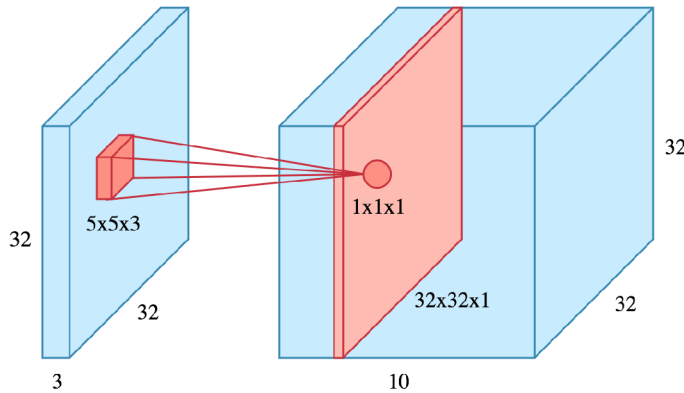
kde y_j udává hodnotu j-tého výstupního neuronu ($1 \leq j \leq N$). x_i jsou vstupní hodnoty neuronu z predchozí vrstvy. Tuto vrstvu je možné pozorovat na obrázku 2.13.



Obrázek 2.13: Model sítě s plne propojenými vrstvami.

2.4.2 Konvolucní vrstva

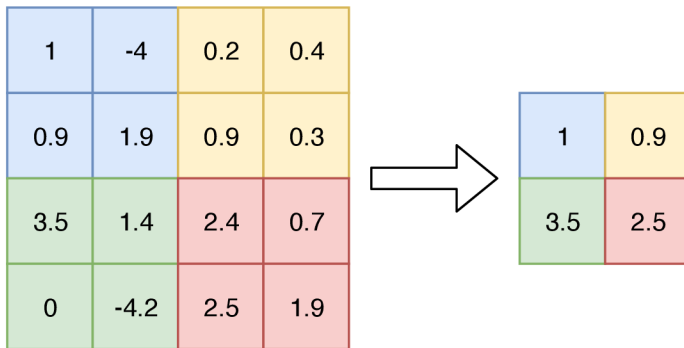
Tato vrstva je využívá konvolucní filtry, jejichž parametry jsou pro celou vrstvu sdílené. Tyto filtry pokrývají pouze malou část plochy vstupních dat, ale využívají celou jejich hloubku. Na hodnotu získanou konvolucí je aplikována aktivacní funkce, která je výstupem tohoto filtru pro jeden neuron. Výstupem jednotlivých konvolucních filtrů této vrstvy je dvoudimenzionální mapa, dohromady všechny mapy tvorí objem, kde hloubkou tvorí počet aplikovaných konvolucních filtrů dané vrstvy. U této vrstvy určujeme nekolik vlastností, kterými jsou počet aplikovaných konvolucních filtrů, velikost jádra konvoluce této filtru (anglicky kernel size), krok posunu konvoluce (anglicky stride) - určuje rychlosť posunu klouzavého okna konvolucních filtrů po vstupu. Dále mužeme u vrstvy specifikovat tzv. zero-padding. V tomto režimu jsou vstupní data doplněna o nulové hodnoty tak, aby velikost výstupu po provedení konvoluce byla stejná jako vstupní velikost (velikost před doplněním o nuly). Konvolucní vrstva je znázorněna na obrázku 2.14.



Obrázek 2.14: Konvolucií vrstva. Zdroj <https://towardsdatascience.com>

2.4.3 Pooling vrstva

Slouží pro zmenšení velikosti dat vstupní vrstvy. Tato vrstva se hlavně využívá mezi konvoluciemi vrstvami pro snížení celkového počtu parametru výsledné sítě. Podvzorkování se aplikuje na jednotlivých hloubkách vstupních dat samostatně. V rámci tohoto vzorku dat pro hloubku se podobně jako u konvoluce posouvá klouzavé okno, na které se aplikuje některá z agregacních funkcí (nejčastěji se jedná o funkci maximum nebo prumer, podle nich pak nazývány max pooling nebo average pooling). Podobně jako u konvolucií vrstvy má i tato vrstva krok (anglicky stride), kterým se posouvá okénko podvzorkování a také velikost plovoucího okénka.



Obrázek 2.15: Ukázka operace max-pooling.

2.4.4 Normalizační vrstva

Normalizační vrstva, v anglické literatuře uváděna pod názvem batch normalization layer, je vrstva, která provádí korekci vstupních dat. Data jsou transformována do normálního rozložení se střední hodnotou 0 a rozptylem 1. Díky tomu je zajištěno, že se rozložení hodnot dat bude pohybovat v nejbližším okolí 0. Tato vrstva si při trénování pocítá statistiky o středních hodnotách a rozptylech, které jsou posléze využity při inferenci sítě. V praxi se tato vrstva používá mezi vrstvou konvoluce, případně plně propojenou vrstvou, a vrstvou s aktivacní funkcí. Pro každý mini-batch se normalizace spocítá následujícími rovnicemi:

$$\mu = \frac{1}{N} \sum_{i=1}^N x_i, \quad (2.10)$$

$$\sigma^2 = \frac{1}{N} \sum_{i=1}^N (x_i - \mu)^2, \quad (2.11)$$

$$\hat{x}_i = \frac{x_i - \mu}{\sqrt{\sigma^2 + \varepsilon}}, \quad (2.12)$$

$$y_i = \gamma \hat{x}_i + \beta, \quad (2.13)$$

kde μ znací střední hodnotu v rámci mini-batche, σ^2 je rozptyl, x_i jsou vstupy vrstvy, y_i jsou výstupy vrstvy a γ, β jsou parametry, které se tato vrstva ucí.

Použití této vrstvy snižuje úcinek problému zvaného internal covariance shift. Tento problém nastává při posunu vstupní distribuce učícího se systému. V prípade hlubokých sítí je vstup v každé vrstve ovlivnen parametry této vrstvy. I ty nejmenší zmeny parametru sítě se průchodem sítí zesílí a v konečném důsledku způsobí posun vstupních distribucí vnitřních vrstev sítě, což může vést k snížení konvergence sítě.

2.4.5 Softmax vrstva

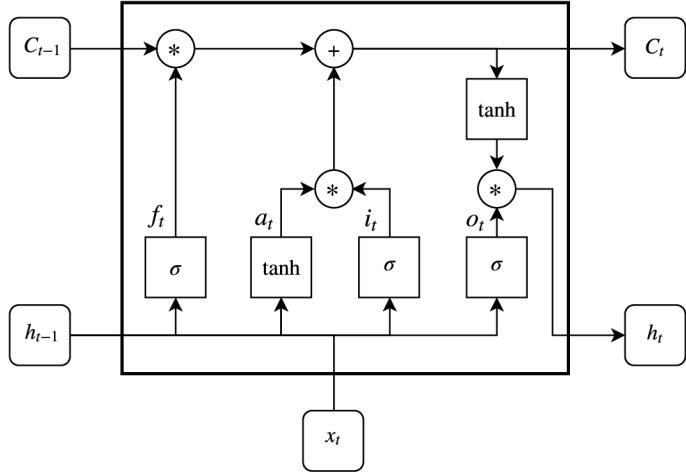
Tato vrstva slouží transformaci vstupu vrstvy do výsledného rozložení pravděpodobnosti, kde součet všech výsledku této vrstvy je roven 1. Využívá se pro klasifikaci mnoha výlučných tríd, kdy pouze jediná z hodnot má nejvyšší pravděpodobnost. Výstup této vrstvy obsahuje stejný počet hodnot jako jeho vstup a je možné jej vypočítat rovnici:

$$y_j = \frac{e^{x_j}}{\sum_{i=1}^N e^{x_i}}, \quad (2.14)$$

kde j je hodnota v rozsahu $1 \leq j \leq N$ určuje index výstupu, x_i je vstup vrstvy na indexu i a y_i je výstup vrstvy na indexu i .

2.4.6 Long Short-Term Memory vrstva

Long Short-Term Memory, dále jenom LSTM, je typ rekurentní neuronové sítě, která má architekturu skládající se z retezených bunek. Bunku LSTM můžeme pozorovat na obrázku 2.16. LSTM bunka se skládá se z nekolika hradel, které napomáhají této vrstve udržovat si vnitřní pamět. Funkci LSTM bunky můžeme rozdělit do třech částí:



Obrázek 2.16: Schéma bunky LSTM vrstvy

Zapomenutí. Využívá hradlo *forget gate*, které umožnuje LSTM se rozhodnout jaké vlastnosti musí být zapomenuty (odtud název tohoto hradla) na základě predchozího stavu a současného vstupu, aby byly zachovány pouze důležité informace. Využívá funkci sigmoidu, které vrátí hodnotu v intervalu $(0; 1)$. Přicemž hodnota 0 zahodí veškeré informace ze stavu a naopak 1 je všechny zachová.

$$f_t = \sigma(W_{xf} \cdot x_t + W_{hf} \cdot h_{t-1} + b_f) \quad (2.15)$$

Zapamatování. Umožnuje LSTM zapamatovat si nové vlastnosti ze současného vstupu. Využívá k tomu dvou hradel. Aktivacní hradlo ² získá vektor nových vlastností, které chceme přidat k současném stavu. Dále hradlo input gate rozhoduje, které hodnoty chceme aktualizovat a s jakou mírou (podobně jako forget gate výše).

$$a_t = \tanh(W_{xa} \cdot x_t + W_{ha} \cdot h_{t-1} + b_a) \quad (2.16)$$

$$i_t = \sigma(W_{xi} \cdot x_t + W_{hi} \cdot h_{t-1} + b_i) \quad (2.17)$$

Obe tyto hradla jsou posléze zkombinovány a přidány k novému stavu. Vektory se kombinují pomocí Hadamardova součinu, který násobí vektory mezi sebou po jejich jednotlivých složkách a v rovnících je označen symbolem $*$. Kombinace těchto vstupu a hodnoty forget gate dohromady udává hodnotu následujícího stavu, jak můžeme videt níže.

$$C_t = a_t * i_t + C_{t-1} * f_t \quad (2.18)$$

Výstup. Výstup LSTM je založený na současném stavu v bunce. Nejprve pomocí output gate jsou získány hodnoty, které určí části současného stavu, jež jsou ve výstupu zachovány.

$$o_t = \sigma(W_{xo} \cdot x_t + W_{ho} \cdot h_{t-1} + b_o) \quad (2.19)$$

Dále je ze současného stavu získán hyperbolický tangent, který hodnoty srazí do intervalu $(-1; 1)$. Takto získané hodnoty stavu jsou posléze zkombinovány s výstupem z output gate a udávají hodnotu výstupu LSTM v daném case.

$$h_t = \tanh(C_t) * o_t \quad (2.20)$$

²V literatuře bývá označováno jako gate.

Ve všech predchozích rovnicích W_* znací váhy vrstvy pro jednotlivé části a vstupy, x_t je vstup v case t , h_t je predchozí výstup LSTM v case t , C_t je zapamatovaný stav LSTM v case t .

Pri zpetné propagaci je gradient neprerušene propagován skrze stavy jednotlivých buniek. Díky takto navržené strukture bunek netrpí LSTM problémy vanishing ci exploding gradient jako obecné RNN. To je problém, který nastává pri retezení funkcí, jejichž výstup je omezený v úzkém intervalu (například sigmoida). To má za následek, že se postupne hodnoty tlumí až do bodu, kdy hodnota propagované zmeny je tak nepatrná, že je její vliv zanedbatelný a učení sítě uvázne. U rekurentních sítí je tento problém ještě více znatelný, protože pridávají ještě více vrstev.

2.5 Ucení sítí

Hlavním účelem učení neuronové sítě je nastavení hodnot váhových parametru a prahu mezi perceptrony tak, aby síť náležitě reagovala na vstup. Mezi základní strategie učení patří učení s učitelem a učení bez učitele.

Učení s učitelem využívá znalosti vstupu i správného výstupu. Nejprve pro vstup sít vygeneruje výstup, který porovná se správným výstupem, a poté upraví váhové parametry tak, aby bylo dosaženo co nejlepších výsledků.

Druhý zpusob je učení bez učitele. Zde jsou správné výstupy neznámé, a tak se ze zadaných vstupních dat snaží učení získat společné zákonitosti a nastavit váhy i prahy tak, aby na podobné vstupy reagovala podobnými výstupy.

2.5.1 Back propagation

Je algoritmem učení neuronové sítě s učitelem, který slouží k adaptaci neuronové sítě na danou trénovací množinu. Rozděluje se do tří etap: dopredného šíření signálu ze vstupních dat, zpetného šíření chyby a úprav váhových parametru mezi perceptrony. Na zacátku se náhodně navolí parametry sítě. Pro vstupní data se porovnají výsledky výstupu s temi správnými, címž se dopocítá chyba neuronové sítě. Úpravou váhových parametru například podle metody gradient descent lze dosáhnout presnejších výsledku.

Chyba sítě pro celý pruchod testovacími vstupy se spocítá jako

$$E = \frac{1}{2} \sum_{i=1}^p \|y_i - t_i\|^2, \quad (2.21)$$

kde y_i je výstup pro testovací data i a t_i je očekávaný korektní výsledek.

Gradient descent

je nejjednodušší metodou k získávání nejnižší odchylky, kdy se chyba zmenšuje podle nejstrmejšího klesání (nejvíce záporného gradientu), který vypocítáme pomocí

$$\nabla E = \left(\frac{\partial E}{w_1}, \frac{\partial E}{w_2}, \frac{\partial E}{w_3}, \dots, \frac{\partial E}{w_l} \right). \quad (2.22)$$

Metoda gradient descent je omezena na hledání lokálních minim, címž muže dojít k minimalizaci chyby, ale nemusí získat nejlepší rešení. Po pruchodu celé testovací množiny

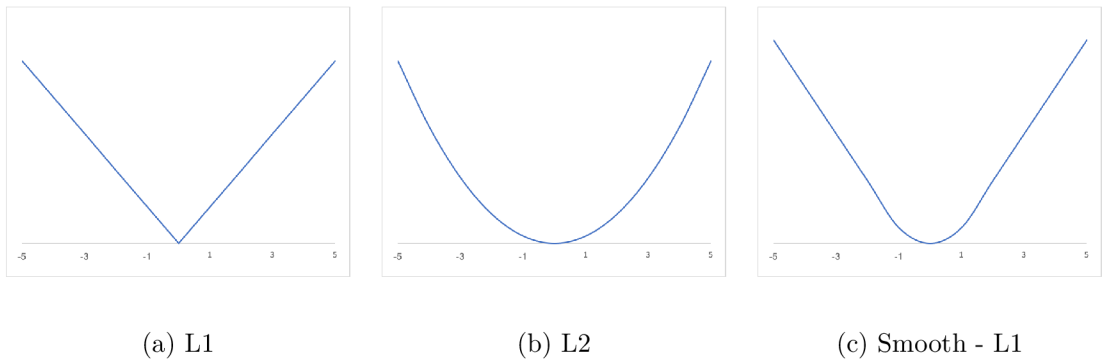
dojde k prenastavení váhových parametru a iterativne dochází ke snižování chyby, kdy se snaží dosáhnout nulového gradientu ($\nabla E = 0$).

$$\begin{aligned} w_{i+1} &= w_i + \Delta w_i \\ \Delta w_i &= -\eta \frac{\partial E}{\partial w_i}, \end{aligned} \quad (2.23)$$

kde η reprezentuje rust ucení, který definuje velikost kroku jednotlivé derivace.

2.5.2 Loss funkce

Loss funkce neboli chybová funkce vyjadruje chyby pomocí matematického zápisu. Cílem chybové funkce je minimalizovat chybu nastavením vah a prahu pri použití optimalizačních algoritmu. Následne jsou popsány významnejší loss funkce. [6]



Obrázek 2.17: Orientační grafy vybraných loss funkcí

L1 loss

Neboli Least absolute deviation je součtem všech rozdílu mezi správným výstup a výstupem získaným z neuronové sítě.

$$lad_loss = \sum_{i=1}^n |y_i - t_i|. \quad (2.24)$$

Hlavní vlastností této funkce je robustnost, díky která dokáže pracovat nad datasety, které obsahují okrajové hodnoty. Nevýhodou této funkce je, že gradient se behem pruchodu celé skupiny testovacích dat nemení. Tím dochází k tomu, že gradient bude velký i pro malé chybové hodnoty.

L2 loss

Funkce také pojmenovaná least square errors (lse), u která již z názvu napovídá, že využívá na rozdíl od L1 druhou mocninu absolutní hodnoty rozdílu získaného a správného výstupu:

$$lse_loss = \sum_{i=1}^n |y_i - t_i|^2. \quad (2.25)$$

Tato funkce si neumí dobre poradit s trénovacími daty, pokud obsahují větší množství okrajových hodnot, kdy pri umocnení dojde k velkému navýšení chyby.

Smooth L1

Neboli Huber loss funkce je kombinací L1 a L2, která není na okrajové hodnoty trénovacích dat tak náchylná jako L2.

$$smooth_l1(a) = \begin{cases} \frac{1}{2}a^2 & \text{pro } |a| \leq \delta, \\ \delta(|a| - \frac{1}{2}\delta) & \text{pro ostatní} \end{cases} \quad (2.26)$$

Funkce využívá pro výpočet malých a kvadratickou funkci a pro větší hodnoty a využívá lineární funkci, címž zamezí rostoucímu stoupání v případě okrajových hodnot.

Cross-Entropy Loss

Cross-entropy loss, také nazývaný log loss, merí výkonost klasifikačního modelu, jehož výstup obsahuje hodnoty pravdepodobností v intervalu od 0 do 1. Hodnota Cross-entropy lossu se zvyšuje, práve když se predikovaná pravdepodobnost vzdaluje od skutečného cíle. Casto je tento loss spojován se softmax vrstvou. Cross entropy loss lze srovnávat rovnicí:

$$H(P, Q) = - \sum_i P(i) \log Q(i) \quad (2.27)$$

kde množina P obsahuje hodnotu 1 pokud index i je skutečná klasifikace, jinak obsahuje hodnotu 0, a Q je množina obsahující pravdepodobnosti predikcí.

Kapitola 3

Technologie zpracování textu

3.1 Rozpoznání textu

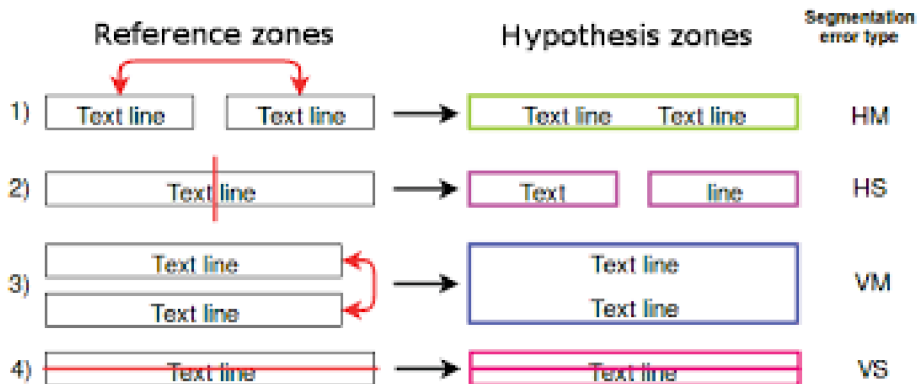
Castokrát je rozpoznání textu považováno za dva rozdílné úkoly, které jsou však propojeny. Temito úkoly jsou detekce a následné rozpoznání textu. Detekce textu nám navrhne pozici, kde se nachází muže nacházet text v obrázku a rozpoznání v navržených textových oblastech rozpozná text. Zpravidla pro obe části tohoto algoritmu bývá využita neuronová síť. Novejší přístupy tyto dva úkoly snaží spojit do jediného systému tak, aby využívali co nejvetší pocet společných prvků. To má za výhodu, že trénujeme celý systém dohromady. [15, 17, 2]

Vetšina standardních metod detekce textu pracuje s textem jako se sekvencí znaku. Tyto metody nejdříve naleznou jednotlivé znaky v obrázku, které dále shlukují do vyšších celku jako jsou slova případně rádky textu. Hlavními dvěma přístupy standardních metod jsou posuvné okno (sliding window) a spojené komponenty (connected-components). V poslední době se však obrátila pozornost na metody založené na hlubokém učení [22], které dokáží z obrázku dokumentu přímo označit slova.

Obecně cílem rozpoznání textu scény je dekódrovat sekvenci znacek z pravidelně oríznutých textových obrázku s ruznou délkou textu. Vetšina metod zachycuje jednotlivé znaky a nekorektne klasifikované znaky jsou opraveny později. Krome přístupu po jednotlivých znacích existují přístupy zaměřené na regiony textu. Ty mužeme rozdělit na tri kategorie: klasifikace slov (word classification), metoda dekodování sekvence na znacky(sequence-to-label) a metoda sekvence na sekvenci (sequence-to-sequence). Metoda klasifikace slov je metoda, kde jsou výstupem trídy reprezentující slova. Tento přístup však není univerzální a rozšířitelný. Zbylé dve metody využívají rekurentních neuronových sítí.

3.2 Metriky porovnání

Algoritmy rozpoznání textu se zpravidla skládají z dvou hlavních celku segmentace obrazu na regiony s textem a rozpoznání textu v techto regionech (kapitola 3.1). Pro porovnání kvality výsledku jednotlivých detekčních algoritmu je potreba zmerit jak na kvalitu segmentace obrazu, tak i kvalitu detekovaných textu v techto regionech. Každý algoritmus pracuje jiným způsobem a muže nastat situace kdy je text rozdelen do více oblastí (over-segmentation) anebo naopak se nekolik segmentů textu spojí do jednoho celku (under-segmentation). Tyto segmentační problémy mohou nastat jak v horizontálním, tak i v vertikálním směru a znesnadňují vyhodnocení výsledku algoritmu. Na obrázku 3.1 mužeme pozorovat varianty segmentačních problémů.



Obrázek 3.1: Všechny varianty segmentačních problémů. Zdroj: [12]

3.2.1 Levenštejnova vzdálenost

Levenštejnova vzdálenost (také známa jako editační vzdálenost, anglicky levenshtein distance ci edit distance) je metrika pro urcení podobnosti dvou seznamu. Podobnost meríme jako vzdálenost, s jakou mužeme upravit seznam tak, aby byl totožný s porovnávaným seznamem. Hodnota vzdálenosti nabývá součtu cen jednotlivých operací. Operacemi jsou přidaní prvku (insertion), smazání prvku (deletion) a nahrazení prvku (substitution). Každá z těchto operací může nabývat jinou cenu za provedení.

Výpočet Levenštejnovi vzdálenosti můžeme vyjádřit následujícím vztahem:

$$\begin{aligned}
 L_{x,y}(0,0) &= 0 \\
 L_{x,y}(i,0) &= Di \\
 L_{x,y}(0,j) &= I j \\
 L_{x,y}(i,j) &= \min \begin{cases} L_{x,y}(i-1, j) + D \\ L_{x,y}(i, j-1) + I \\ L_{x,y}(i-1, j-1) + \begin{cases} S & \text{pokud } x_i \neq y_j \\ 0 & \text{jinak} \end{cases} \end{cases} \quad (3.1)
 \end{aligned}$$

kde x, y jsou porovnávané seznamy, i, j jsou indexy v rámci těchto seznamu x, y . Konstanty I, D, S predstavují ceny operací vložení, odebrání a změnu prvku. Celková vzdálenost dvou seznamu x a y je získána vypočtením hodnoty $L_{x,y}(|x|, |y|)$.

3.2.2 ZoneAltCnt

Jedná se o metodu kompletního porovnání kvality algoritmu rozpoznání textu. Metodu navrhl R. Karpinsky [12] a udává, jak vyhodnotit systémy OCR nastanou-li výše uvedené problémy v segmentaci obrazu. Jeho algoritmus nejdříve seskupí predikované a vzorové anotace. Dále jsou z každé skupiny pocítány následující metriky.

- Znaková metrika (Character Metric) udává, jak kvalitně dokáže algoritmus rozpoznat text nezávisle na segmentaci obrazu.
- Slovní metrika (Word Metric) ríká, jak kvalitně dokáže systém OCR segmentovat obraz a rozpoznat v segmentech, kdyby byl segmentovaný stejným způsobem jako ve vzoru.

- Úplná metrika (Strict Word Metric) udává kvalitu systému OCR i včetne jeho segmentace v porovnání s vzorovým dokumentem.

Každá metrika se pocítá pomocí leveštejnovi vzdálenosti a je v algoritmu presne urceno, jak se zachovat pri ruzne segmentovaných obrazových datech.

Pro všechny metriky jsou smerodatné dve hodnoty. Míra citlivosti a presnost namereňých hodnot. Citlivost (anglicky recall) je pomer mezi korektne vyhodnocenými objekty a celkovým počtem vzorových objektu. Hodnota udává pomer pokrytí všech testovaných vzorových objektu. Zatímco presnost (anglicky precision) je pomer mezi počtem všech korektne vyhodnocených objektu a celkovým počtem všech predikovaných objektu. Cím vyšší presnost tím méne nekorektne predikovaných objektu.

Tato metrika byla v práci použita pro vyhodnocení systému OCR.

3.3 Existující rešení

Tesseract

Tesseract¹ je software pro optické rozpoznání znaku s verejne dostupným kódem. Tesseract zacal jako disertacní projekt v rámci HP Labs v Bristolu. V letech 1984 až 1994 dále pokracoval vývoj v HP. V roce 1995 byl vylepšen a dosáhl lepších výsledku presnosti. Pozdeji roku 2005 byl Tesseract firmou HP uvolnen jako verejne dostupný kód.

Detekcní algoritmus Tesseractu je složen z nekolika částí. Nejdříve se nad vstupním obrazem provede adaptivní prahování metodou Otsu. Adaptivní prahování je potreba pro zvýšení kontrastu mezi textem a pozadím. Dále nastane analýza rozložení stránky, která rozdelí obrázek na oblasti s textovými a netextovými informacemi. Potom následuje metoda pro nalezení rádku obsahující text. V rámci nalezených rádku se určí pozice dle horizontálních vzdáleností mezi znaky jednotlivých slov. Slova jsou poté rozdelená na samostatné znaky. Klasifikátor pak urcuje jednotlivé segmenty znaku a detekuje približný jejich geometrický obrys, který je definován vektorem rysu v ctyr-dimenzionálním (pozice x a y, smer, délka).

Microsoft Computer Vision

Jedná se o komercní služby firmy Microsoft, která poskytuje pomocí webového aplikacního rozhraní přístup k jejich produktu². Mezi poskytované služby patří detekce objektu, které dokáže rozpoznat informace nacházející se v obrázku, označit je příslušnými znackami a vrátit jejich pravdepodobnost výskytu. Rozpoznání textu, které muže z obrázku extrahat slova do sekvence znaku citelnými pocítacem. Další službou je rozpoznání rucne psaných textu, mezi které patří dopisy, clánky, formuláře a další.

Pro použití této služby je zapotrebí microsoft účet, pro přístup k aplikacnímu klíci. Detekci textu provedeme zasláním dotazu obsahující výše zmíněný klíč a náš obrázek s textem na koncový bod urcený pro detekci textu. V odpovědi dostaneme vyhodnocený text ve formátu JSON (javascript object notation). Ve výsledku mužeme pozorovat rádky textu a jednotlivá slova uvnitř techto rádku. Záznamy se slovy obsahují hodnotu textu, jež systém vyhodnotil, a také souradnice oblasti (bounding polygon), kde se v rámci obrázku text nachází. Struktury vyšší úrovne, například paragrafy, namísto slov samotných obsa-

¹Dostupné z <https://github.com/tesseract-ocr/>

²Dostupné na <https://azure.microsoft.com/cs-cz/services/cognitive-services/computer-vision/>

hují jen souradnice oblasti, do níž spadají všechna jejich slova. Průmerná doba detekce, díky komunikaci se serverem, dosahuje kolem jedné vteřiny.

Algoritmus využitý pro rozpoznání textu není zveřejněn. Algoritmus je dle mého názoru implementovaný jako série operací úpravy obrázku, nalezení rádku textu, narovnání techto rádku (jsou-li rádky natoceny v už horizontální ose textu), rozdelení na slova a na jednotlivé znaky techto slov, následuje rozpoznání znaku, které je pravdepodobně implementované klasifikátorem pomocí neuronové sítě.

Google Cloud Vision

Poskytuje nekolik možností, jak zaintegrovat natrénované modely pocítacového videní do programu třetích stran. Hlavním způsobem, jak takovou službu integrovat je za pomocí Cloud Vision aplikacního rozhraní (Cloud Vision API³). Toto rozhraní definuje koncové body a odpovedi pro jednotlivé definované moduly a probíhá pomocí webového protokolu HTTP. Mezi nabízenými službami jsou detekce objektu ve scéne obrázku, extrakce textu z obrázku, vyhledávání obrázku na webu (také na základě podobnosti obrázku).

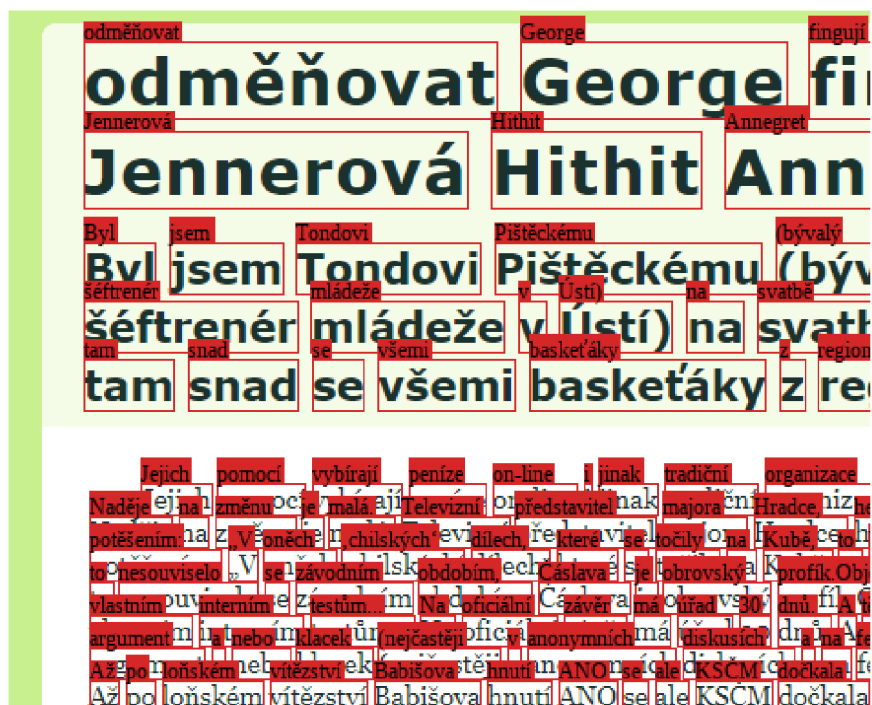
Podobně jak je tomu u Microsoftu (viz výše) je i u Googlu zapotřebí účet a zaregistrování tohoto účtu v rámci Google Vision. V rámci účtu máme dostupný privátní klíč pro přístup k dostupným službám. Detekce textu se provede zasláním tohoto klíče současne s obrázkem, u nehož chceme detektovat text, na koncový bod pro detekci textu. Výsledek je vrácen ve formátu JSON. Detekce je vracena zanorenou hierarchií stránky, blok, paragraf, slovo, symbol. Každá z techto struktur má definovanou oblast kde se v obrázku nachází a predstavuje logické celky odpovídající daným názvům.

³Dostupné na <https://cloud.google.com/vision/>

Kapitola 4

Datová sada

Datová sada byla vytvorena pomocí interního nástroje firmy ARTIN zvaného „gui-generator“. Nástroj, jak již název vypovídá, dokáže generovat rozložení různých grafických webových rozhraní, které si mužeme zobrazit pomocí webových prohlížecu. Pomocí tohoto nástroje je možné vytvorit široké spektrum webových stránek s různými barevnými schématy, rozloženými prvku a množstvím textu. Hlavní účelem gui-generátoru je generování trénovacích datových množin pro rozpoznávací aktivních prvků grafických uživatelských rozhraní. S každým vygenerovaným rozhraním jsou zároveň vytvořeny i anotace pro jednotlivé prvky obrazu. Anotace zpravidla obsahují informace o typu pravka (například tlačítko, slovo textu atd.) a pozice tohoto pravka v rámci obrazu. Pro účely této práce bylo zapotrebí tento generátor rozšířit o další funkcionality. Výsledek tohoto generátoru je možné videt na obrázku 4.1. Obrázek je přiblížen a je v nem také možné pozorovat bounding boxy, které dále poslouží neuronové síti jako učební vzory daných textu.



Obrázek 4.1: Ukázka vygenerovaných dat.

4.1 Texty

U generátoru bylo potreba rozšířit rozsah textu, které je možné generovat. Hlavním důvodem tohoto rozšírení byla malá rozmanitost textu. Nové texty pro generátor byly sestaveny z různých českých textu posbíraných z internetu. Získané texty obsahují 120466 českých vět, 167589 českých slov a v nekomprimované podobě zabírají 23 MB diskového prostoru. Dále bylo potreba uzpůsobit generátor, aby dokázal generovat webové stránky, jež obsahují nová textová data.

Puvodní verze generátoru vytvárela anotace pouze pro prvky rozložení dokumentu a interaktivní webové prvky. Toto však nebylo dostacující pro vytvoření anotovaných dat vhodných k rozpoznání textu. Pro interaktivní prvky (formulárové prvky a.j.) však nebylo možné přímo pristoupit k jejich hodnotám v rámci objektového modelu dokumentu (anglicky Document Object Model dále jen DOM). Díky tomu nebylo možné takové texty anotovat. Interaktivní prvky proto byly nahrazeny statickými ve stejném zobrazovacím stylu a jejich hodnoty byly vloženy jako potomci. Nyní bylo možné všechny textové informace adresovat pomocí DOM. Textová data byla rozdělena a vložena do nenastylovaných prvků „span“, které nám poskytli možnost určit souradnice oblasti ve které se nachází texty jež tyto prvky obalují. Pridané anotace jsou pro blok textu, slova textu a jednotlivé symboly textu. Bílé znaky generátor vynechává a nijak je neanotuje.

4.2 Styly

Pro větší ruznorodost generovaných textu v snímkách byl pridán do generátoru náhodný výber ze širokého seznamu písem. Důvodem této změny bylo otestování rozpoznávací schopnosti pro ruznorodé styly textu. Pro každou generovanou stránku jsou náhodně zvoleny písma pro nadpisy, tlačítka a všeobecný text. Zároveň při tom je i náhodně zvolena velikost tohoto písma, vzdálenost mezi jednotlivými znaky a výška mezi dvěma rádky textu. Jiné modifikace textu (jako je náklon písma, tucné písmo atd.) jsou voleny náhodně při vkládání písma do stránky.

Generátor generoval hlavně formuláře a jiné webové rozložení a spíše se zabýval množstvím a pozicí aktivních prvků v rámci těchto webových stránek. Pro účely této práce bylo zapotřebí u současných stylů vyměnit generované texty (viz výše). Protože texty mohou nabývat větší velikosti (oproti puvodnímu stavu), bylo potreba některé styly pozmenit, aby zmenený text neznichil vytvořené rozložení. Zároveň byl pro generátor vytvořen i císte textový styl. Tento styl generuje internetový clánek a skládá se z hlavních částí hlavicky a tela clánku. V rámci hlavicky se vytvorí hlavní nadpis clánku a stručný úvod co mužeme v clánku hledat. Telo clánku pak obsahuje množství paragrafu a náhodně do nej mohou být vygenerovány i obrázky. Generátor tento styl naplnuje pomocí získaných textů. Barevné rozložení těchto stylů je generováno tak, aby pro zvolenou barvu pozadí byl text citelný.

4.3 Generování testovací datové sady

Pro automatické generování datové sady byl vytvořen nástroj, jenž automaticky ovládá webový prohlížecký, který je potreba pro vykreslení rozložení (layout) poskytnutém pomocí GUI-generatoru. Toho bylo dosáhнуto využitím knihovny Selenium¹, jejíž hlavním účelem je vytvoření a spuštění automatizovaných testů webových rozhraní, a programu Chrome-

¹Dostupné z <https://www.seleniumhq.org/>

Driver²(nadstavba nad webovým prohlížecem Google Chrome), který obsahuje rozhraní pro možnost ovládání robotem (v tomto případě Selenium). Nástroj nejprve vytvorí snímek obrazovky ovládaného prohlížeče (tím získáme obrázek s texty) a následně pro tento obrázek získáme anotace pro slova a jejich symboly. Struktura vygenerované anotace pro snímky vypadá následovně:

```
{  
    "filename": "2019_01_07__09_54_36.png",  
    "filepath": "/images/2019_01_07__09_54_36.png",  
    "image_size": {  
        "width": 1920,  
        "height": 1080,  
        "depth": 3  
    },  
    "annotations": [  
        {  
            "box": {  
                "xmin": 600,  
                "xmax": 713,  
                "ymin": 1142,  
                "ymax": 1158  
            },  
            "type": "text_word",  
            "text": "implementovanou"  
        },  
        ...  
    ]  
}
```

Vidíme zde název(filename), cestu(filepath) a velikost obrázku(image_size), který této anotaci odpovídá. Následuje seznam anotací pro tento obrázek, které se skládají z bounding boxu určeného dvěma body, typu označující anotace(type) a hodnoty text.

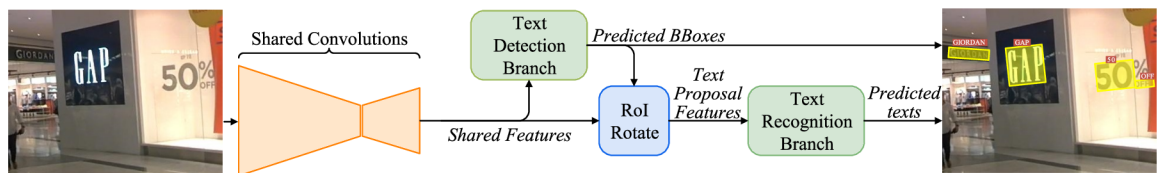
²Dostupné z <http://chromedriver.chromium.org/>

Kapitola 5

Návrh rešení

Navržený systém využívá architekturu inspirovanou Fast Oriented Text Spotting [15]. Architektura využívá jednu společnou síť jak pro detekci i rozpoznání textu. Skládá ze čtyř hlavních částí: společná konvolucní síť, detekce textu, prostorové transformace a rozpoznání textu.

Celkovou architekturu mužeme pozorovat na obrázku 5.1. Společná konvolucní síť (shared convolutions) ze svého vstupu získá obrazové vlastnosti (features). Pro nalezení vlastností v obraze bude použita reziduální konvolucní síť inspirovaná sítimi ResNet50 [?] a Feature Pyramid [14], které z obrazu extrahuje vlastnosti a spojí je dohromady přes několik úrovní. Výsledná mapa obrazových vlastností je společným vstupem pro část s detekcí a rozpoznáním textu. Detekce textu (Text Detection Branch) produkuje pro každý pixel obrazu predikce regionu textu za použití společné mapy vlastností. Regiony textu, navržené detekcí textu, jsou dále transformovány, za pomocí prostorové transformace, do datové reprezentace s pevnou výškou. Tato operace zachovává původní poměr stran regionu. A nакonec je aplikováno rozpoznání textu (Text Recognition Branch). Pro tyto účely budou použity konvolucní neuronové sítě s pamětovými vrstvami (Long Short-Term Memory dále jen LSTM [9, 19]), které zakódují sekvenci textových informací. Následuje klasifikace textu pomocí rekurentní neuronové sítě CTC (Connectionist Temporal Classification [7]). Strukturu částí detekce, korekce a rozpoznání si více rozvedeme v následujících kapitolách.



Obrázek 5.1: Architektura sítě FOTS. Zdroj [15]

5.1 Detekce textu

Detekce textu je tvorena plne konvolucní sítí. V obrázku se spíše nachází větší množství malých textových regionů, proto je výstupní mapa obrazových vlastností zvetšena. Po extrakci obrazových vlastností sdílenou sítí je na ne aplikována jedna konvoluce na zjištění prítomnosti textu v daných pixelech. Dalšími predikovanými hodnotami pro všechny pozitivní vzorky jsou čtyři dimenze vzdáleností (vzdáleností nahoru, doprava, dolu, doleva), které

urcuje bounding box obsahující daný pixel v závislosti na jeho souradnicích. A rotace získaného bounding boxu vuci horizontální ose. Na všechny detekce je pak aplikována metoda non-maximum suppression [16] (dále jen NMS), která zanechá pouze nejpravdepodobnejší predikované hodnoty.

Hodnotící funkce detekce se skládá z dvou částí: ztráta pri klasifikaci textu a ztráta regrese bounding boxu. Ztrátu klasifikacní funkce vypočítáme jako ztrátu klasifikace jednotlivých pixelů pro zmenšenou mapu hodnocení (anglicky score map). Pouze zmenšená verze původního textového regionu je považována za správnou oblast. Oblast mezi bounding boxem a zmenšenou verzí mapy nijak neprispívá k celkové ztráte klasifikace. Zatímco regresní ztráta pro bounding boxy je spočítána pomerem pruniku a sjednocení jejich oblastí (Intersection over Union dále jen IoU [18]) a pomocí ztráty úhlu rotace. Celková ztráta je vážený součet techto dvou ztrát.

5.2 Prostorová transformace

Pomocí operátoru RoIPool provedeme korekci predikovaných textových oblastí. RoIPool aplikuje transformaci na textové oblasti a získáme textové oblasti zarovnané podle souradných os (anglicky axis-aligned). Textové oblasti transformujeme tak, že pro všechny nastavíme stejnou pevnou výšku a šírku dopocítáme tak, aby zustal poměr stran nezměněný. To umožní zpracování různě dlouhých textů. Pro vzorkování hodnot, jejichž souradnice jsou mapovány mimo diskrétní celocíselné, je použita bilineární interpolace. Tím zamezíme chybám v zarovnání mezi korekcí a získanými vlastnostmi. Navíc tím umožníme promennou délku výstupních oblastí, což je více vhodné pro rozpoznání textu.

Korekce aplikuje afinní transformace na mapu vlastností získané z predchozího kroku. Afinní transformace prevedou oblast do zarovnání podle souradných os. Transformace využívají reverzní mapování ze zdrojových dat, pro interpolaci neznámých hodnot je použita bilineární interpolace.

5.3 Rozpoznání textu

Rozpoznání textu je zaměřeno na označení veškerých textových informací z dat získaných z predchozích kroku. Tato část se skládá ze sekvenční konvolucní a pooling sítí podobných VGG, obousmerného LSTM, plne propojené vrstvy určené ke klasifikaci a zakončené CTC dekódérem [7].

Nejprve je na prostorová data aplikováno série konvolucí a poolingu. Pricemž pooling vrstvy jsou nastavené, aby redukovaly rozmery pouze ve vertikální ose. To má za důsledek, že extrahuje vlastnosti do vyšších úrovni a zachováváme šírku nezměněnou. Tyto vlastnosti vyšší úroveň jsou prevedeny do sekvence vlastností na základě horizontální šírky vstupních vlastností. Ty jsou vstupem rekurentní neuronové sítě LSTM. LSTM zakóduje získanou sekvenci do 256dimenzionálního vektoru pro každý směr. To je potřeba pro zachycení všech rozmerových závislostí, kterých text může nabývat. Každý ze skrytých stavů LSTM je vyhodnocen v obou smerech v každé casové jednotce. Tyto stavy jsou dále napojeny do plne propojené vrstvy, která vypočítá společně s vrstvou softmax hodnoty pravdepodobnost výskytu znaku z dané abecedy. Následne je použito CTC pro dekódování jednotlivých výstupu z rámcu na výstupní sekvenci znaku.

Kapitola 6

Implementace

V této kapitole je popsána implementace navrženého systému. Nejprve jsou uvedeny použité technologie pro implementaci systému v 6.1. Následuje popis algoritmu ucení a inference v 6.2. V dalších kapitolách jsou popsány jednotlivé části navrženého systému a ke konci v kapitole 6.7 jsou shrnuty problémy, které vznikly při implementaci.

6.1 Použité technologie

Python

Python je vysokoúrovnový skriptovací jazyk. Poskytuje programování v různých paradigmách jako jsou objektově orientované, imperativní, procedurální i funkcionální. Jazyk poskytuje systém pro správu závislostí pip. V posledních letech při výrazném nástupu strojového ucení se stal velmi oblíbený pro svoji jednoduchost a také kvůli tomu, že jej lze navázat na zkompilované knihovny (například v jazyce C) s nimiž dosahuje jazyk vyššího výkonu. Dalším důvodem použití je že lze pomocí nej snadněji prototypovat algoritmy neuronových sítí v nekterém z dostupných frameworků.

Pytorch

Knihovna PyTorch¹ je framework pro práci s neuronovými sítěmi pro jazyk Python. Je určen k návrhu a implementaci neuronových sítí a jejich následnému použití. Knihovna PyTorch je zdarma, a dokonce i opensource, vyvíjená týmem zabývajícím se umělou inteligencí pro Facebook. Tato knihovna nám poskytuje několik hlavních výhod jako je pocítání neuronových sítí za pomocí tenzoru se velkou akcelerací pomocí grafických procesorů (GPU). Tenzory mužeme jsou matematický objekt, který v rámci programování mužeme chápat jednoduše jako multidimenzionální pole. PyTorch používá funkci zvanou automatic differentiation. Jedná se o metodu, která sleduje změny provedené na tenzorech a je schopna tyto operace revertovat a na základě nich vypočítat gradienty. To je velmi užitečné při tvorbě neuronových sítí, jelikož umožnuje výpočet diferencí parametru už při dopredném průchodu sítí. PyTorch navíc poskytuje mnoho implementací funkcí, vrstev, aj., které byly zmíněny v kapitole 2. To je důvodem, proc byl v práci použit.

¹Dostupné na adrese <https://pytorch.org/>

6.2 Rozdelení systému

Systém je rozdelen na dva spustitelné soubory, každý s jiným účelem. Prvním z nich je aplikace urcená pouze k ucení síte. Přijímá na vstupu konfigurační soubor, který udává parametry síte, kterou chceme učit. V konfiguračním souboru se nachází počet a rozmery anchor boxu, cesta k datasetu na kterém bude algoritmus učit model síte, sekvenči transformačních operací, které slouží jako preprocessing datasetu. Dataset je nacítán ve formátu uvedeném výše v kapitole 4 a je na nej aplikována série transformačních operací. Mezi ne patří zarovnání obrázku z datasetu do jednotného paddingu, aby bylo možné reprezentovat více prvku z datasetu jednotně i když mohou mít variabilní informace jako je treba počet bounding boxu v obrázku nebo ruzné dlouhé texty. Další významnou transformací je jejich prevod dat na tenzory, které jsou kompatibilní s knihovnou PyTorch. Ucení je pak dále rozdeleno na epochy, které reprezentují počet pruchodu datasetem při stejných parametrech ucení (learning rate). V každé epoše se nejprve zamíchá poradí prvku datasetu. Pak se postupně dataset prochází a aplikuje se na nej transformace. Před zpracováním každého prvku datasetu se vynuluje gradient modelu, a to z důvodu výpočtu gradientu už při pruchodu dopredném pruchodu sítí. Poté necháme model dopredným pruchodem zpracovat tyto prvky. Při verzi ucení získáme na výstupu pouze loss funkce síte, protože predikované výsledky modelu nejsou při ucení příliš užitečné. Za pomocí loss funkcí zpětným pruchodem modifikujeme gradienty modelu, k tomu je užitečná knihovna pytorch a její modul autograd. Gradienty síte jsou spocítány tak jsou pomocí optimalizačního algoritmu aplikovány. V rámci tohoto projektu byl použit optimalizátor Stochastic Gradient Descent, který umožnuje iterativně aplikovat metodu ucení s učitelem gradient descent (více v kapitole 2.5.1). Po dokončení epochy je model uložen a upraven krok plánovace ucení. Plánovací ucení je rozdelen na dve části. Zpocátku do nastaveného počtu epoch je ucení postupně „zahríváno“, kdy zacneme s nízkou váhou ucení a postupně ji zvyšujeme, dokud nedosáhneme nastavené epochy. Tento princip nazýváme gradual warmup [20] a umožnuje síti si „zvyknout“ na vstupní data. Jakmile je model „zahrátý“ na ucení je použit druhý plánovací Reduce On Plateau, který bere v potaz vypočítaný loss modelu. Pokud výsledky modelu se nezlepší (hodnoty se neminimalizují) po dobu nazývanou „trplivost“, pak sníží váhu ucení. Celý tento systém můžeme pozorovat jako pseudokód v algoritmu 1.

Algoritmus 1: Ucení systému.

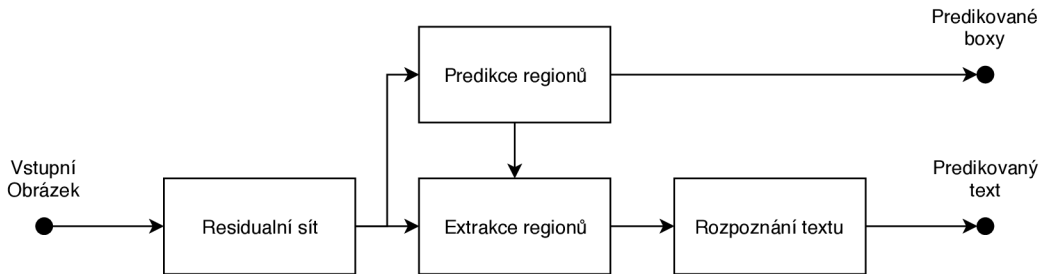
```
1 for  $i = 0; i < MAX\_EPOCH; i++ \text{ do}$ 
2   Zamíchání indexu datasetu.
3   for  $j = 0; j < NUM\_ITEMS\_DATASET; j++ \text{ do}$ 
4     Získání dat datasetu pro index  $j$ .
5     Aplikace preprocessing transformací na tato data.
6     Vynulování gradientu síte.
7     Loss  $\leftarrow$  Dopredný pruchod sítí.
8     Zpětný pruchod sítí pomocí vypočítaných lossu.
9     Krok optimalizačního algoritmu síte.
10    Vytisknutí výsledku ucení epochy.
11    Uložení stavu síte pro danou epochu.
12    Krok plánovace ucení síte.
```

Druhou verzí systému je samotná inference. Máme již naucený model pomocí predchozí aplikace a chceme predikovat boxy i texty pro zadaný vstupní obrázek. Aplikace nacte obrázek a aplikuje na nej nezbytné transformační operace, které jsou vyžadovány modelem. Mezi ne patří normalizace velikosti obrázku a jeho následné prevedení na tenzor. Takto získaný tenzor je predaný modelu nastaveného na evaluaci. Po dopredném pruchodu modelu dostaneme predikované regiony textu, jejich textový obsah a pravdepodobnost, kterou model považuje za validní box. Algoritmus inference je možné videt v algoritmu 2

Algoritmus 2: Inference systému.

- 1 Nactení stavu sítě z poslední epochy.
 - 2 Nactení obrázku ze zadané cesty
 - 3 Aplikace preprocessing transformací na tato data.
 - 4 Skóre, Boxy, Texty \leftarrow Dopredný pruchod sítě.
 - 5 Výstup techto dat do souboru.
-

Model tohoto systému je možné rozdělit do nekolika funkcně odlišných částí. Tyto části mužeme pozorovat na blokovém schéma systému v obrázku 6.1, a budou dále popsány v následujících kapitolách.

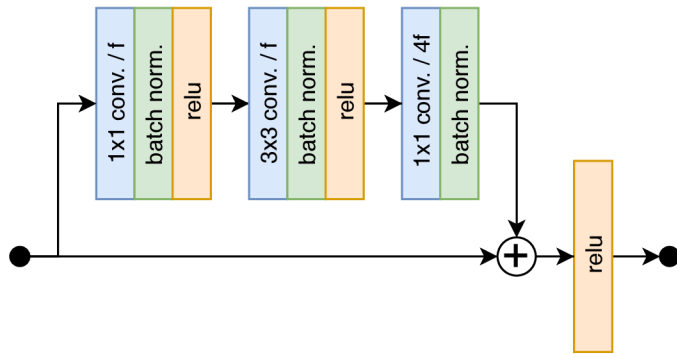


Obrázek 6.1: Celková architektura modelu sítě.

6.3 Residuální síť

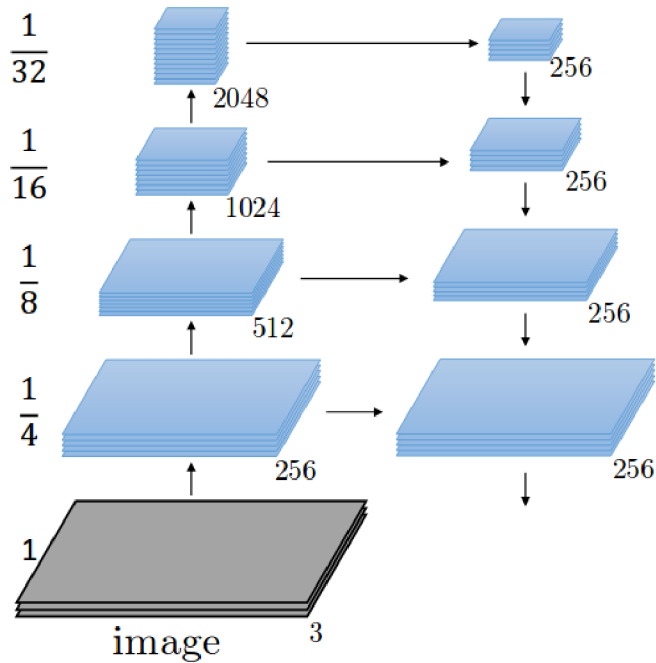
Prvním modulem neuronové sítě je residuální neuronová síť. Tento druh sítě slouží získání všech možných vlastností ze vstupního obrazu a je casto predtrénován na ImageNetu[3]. To je dataset, který obsahuje miliony ruzných obrázku v ruzných kategoriích. Použití predtrénovaných vah je vhodnejší, protože výsledná síť bude rychleji konvergovat. Tuto praktiku nazýváme transfer learning [17] a umožnuje sítím ucit se nové úkoly snadneji, protože nemusí zacínat od nuly s náhodnými váhami.

V rámci této práce je residuální síť navržena po vzoru ResNet-50 [8]. Sít se skládá z takzvaných residuálních bloků, které umožňují vstupním datum projít skrz sít bez zmeny. Díky tomu je možné touto sítí dobre šírit gradient. V každém z techto bloku existuje propojení, které umožní vstupním hodnotám preskocit konvoluci operace. Residuální bloky se také liší v počtu kanálů, které produkují. V obrázku 6.2 mužeme pozorovat residuální blok. V ResNet-50 se jedná o 4 vrstvy, kde každá má predem stanovaný pocet bloku, které jsou poskládány za sebe. První blok každé z vrstev využívá prostorový krok 2 a tím postupne snižuje rozmery vstupu.



Obrázek 6.2: Residuální blok sítě ResNet-50

Tato síť však postupným průchodem vstupu jeho vrstvami snižuje velikost vstupu až 32krát, címž se velmi rychle ztrácí data o malých objektech v obrazu. To casto nemá dopad například pri rozpoznání objektu, kdy se v obraze nachází jen nekolik objektu. Avšak je to velmi nepraktické pri detekci textu, protože pocet objektu v obraze muže být daleko větší. Sít ResNet-50 je upravena po vzoru Feature pyramid network [14], tak aby byla více citlivá na vstupy menších rozmeru. Na obrázku 6.3 mužeme pozorovat výslednou residuální síť. Všechny výstupy z vrstev ResNet jsou využity pri výpoctu výstupní mapy vlastností. Každá z vrstev má takzvaný lateral layer (na obrázku horizontální propojení), který normalizuje kanály všech vrstev na 256. Vrstvy jsou pak odshora kombinovány s podélnými pomocí součtu pres všechny elementy. Nejprve musí být hornejší vrstvy nadzorkovány, aby odpovídali velikosti vrstvy podélného propojení.



Obrázek 6.3: Feature pyramid network vycházející z ResNet. Zdroj: <http://presentations.cocodataset.org/COCO17-Stuff-FAIR.pdf>

Výsledkem tohoto modulu je mapa vlastnosti obsahující 256 kanálu pro každý pixel. Velikost této mapy je 4x zmenšená oproti velikosti vstupního obrazu. Získaná mapa vlastností je sdílená pro všechny ostatní moduly.

6.4 Predikce regionu

Tato část popisuje získání bounding boxu v zadaném obrazu. Získané boxy slouží jako výstup systému a jsou použity pro další zpracování, pomocí nehož se predikuje text nacházející se práve v techto boxech. V následujících podkapitolách je popsáno, jak k predikci boxu dochází.

6.4.1 Anchory

V rámci této práce je potreba predikovat bounding boxy, které obsahují text. Avšak bounding boxy mají ruzné rozmery, jejich pocet i pozice jsou také promenné. Tyto vlastnosti mohou vést ke špatné konvergenci ucícího se systému. Proto bylo potreba tyto bounding boxy reprezentovat způsobem, který není závislý na rozmeru boxu. Rešením je predem stanovit bounding boxy jejichž pocet a rozmery budou pro každý pixel mapy vlastností konstantní, a budou se lišit pouze v posunu. A na tyto konstantní bounding boxy, které dále budeme referovat jako anchory, aplikovat transformace. Tento přístup je inspirován dle publikace [21].

Máme-li 4 souradnice anchoru, pozice středu, šírku a výšku (a_x, a_y, a_w, a_h), můžeme ho transformovat za pomocí 4 transformačních váh (d_x, d_y, d_w, d_h), které určují míru posunu středu a zmenu merítka šírky a výšky. Rovnice pro transformaci anchor boxu jsou uvedeny níže:

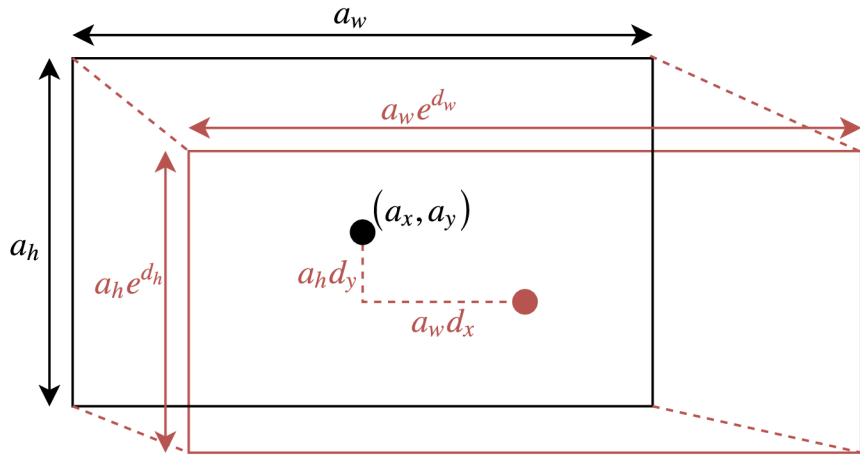
$$r_x = a_x + a_w d_x, \quad (6.1)$$

$$r_y = a_y + a_h d_y, \quad (6.2)$$

$$r_w = a_w e^{d_w}, \quad (6.3)$$

$$r_h = a_h e^{d_h}, \quad (6.4)$$

kde souradnice (r_x, r_y, r_w, r_h) znázornují transformovaný bounding box. Takto definovanou transformaci je možné snadno učit, protože hodnoty (d_x, d_y, d_w, d_h) jsou invariantní vůči rozmerům bounding boxu, na které je aplikována. Tyto hodnoty také mohou nabývat jakékoli hodnoty, protože jejich definicní obor není omezen. Jsou-li tyto hodnoty samé 0 pak je zachován původní bounding box. Grafické znázornění, jak transformace modifikuje box je možné videt na obrázku 6.4, kde v černé barvě je znázoren anchor box, na který je aplikována transformace, a v červené barvě je možné pozorovat výsledek této transformace.

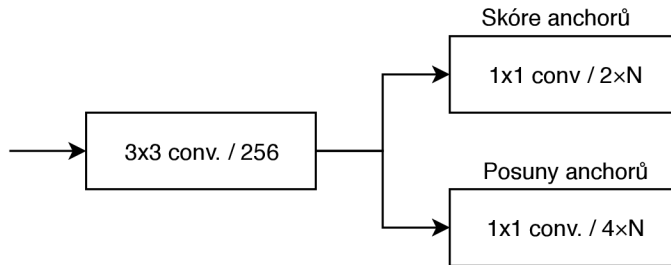


Obrázek 6.4: Transformace anchor boxu pomocí transformačních parametrů.

Protože se tato práce zabývá zpracováním textu bylo, potreba zvolit anchor boxy, které alespon matně připomínají bounding box obsahující text. Podíváme-li se na jakýkoli text, můžeme videt, že většina jeho slov rozmerově je více široká, nežli vysoká. Proto je i logické, aby v tomto duchu byly zvoleny i anchor boxy. Konkrétněji jsou zvoleny boxy s poměrem šírky a výšky 1:1, 2:1, 4:1 a 8:1, pri merítkách 8, 16, 32 a 64. To dohromady dává 16 anchor boxu, pro každý pixel mapy vlastnosti.

6.4.2 Modul predikce regionu

Tento modul slouží pro detekci regionu v obraze. Využívá získanou mapu vlastností a provede nad ní konvoluci vrstvu s 3×3 , která slouží pro vyhlazení této mapy. Na ni jsou aplikovány další dve konvoluci vrstvy urcené ke klasifikaci, resp. regresi transformačních souřadnic anchor boxu. Schéma modulu můžeme videt na obrázku 6.5



Obrázek 6.5: Region proposal network. Promenná N znací pocet anchoru.

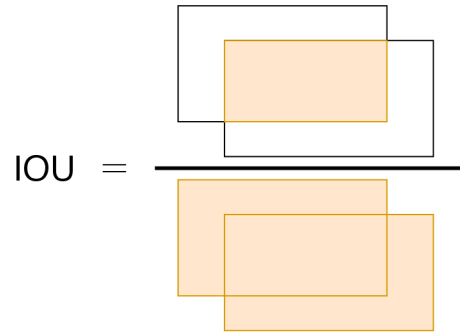
Klasifikacní vrstva obsahuje pro každý pixel mapy vlastnosti dvojici hodnot pro každý anchor na které je dále aplikována vrstva Softmax (více kap. 2.4.5). Tyto dve hodnoty pro každý anchor urcuju míru pravdepodobnosti, že práve tento anchor spadá do jedné ze dvou navzájem se vylucujících tríd pozadí nebo text. Pri ucení je potreba v preprocessingu pro dávku připravit vzory, podle kterých se klasifikátor bude učit. Jak vzory získáme vidíme v následující kapitole 6.4.3. Hodnocení klasifikacní vrstvy je spočítáno za pomocí Cross-entropy loss funkce, to je varianta Negative log-likelihood lossu popsaného v kapitole ??,

který je nastaven, aby ignoroval trénovací vzor obsahující hodnotou -1. Výsledný loss této vrstvy znacíme \mathcal{L}_{CLS} .

Regresní vrstva podobně jako klasifikacní vrstva obsahuje pro každý pixel mapy vlastnosti ctverci hodnot, které nám dávají hodnotu transformačního vektoru pro daný anchor (viz výše 6.4.1). Podobně jako je tomu v klasifikacní vrstvě musí mít i tato vrstva při učení preprocessovány trénovací vzory. Ty jsou v tomto případě transformační hodnoty, které když aplikujeme na daný anchor tak dostaneme některý z validních textových boxů. Při preprocessingu je zároveň získána i maska, která jednoduše určuje, které hodnoty je treba aktualizovat a jsou s ní násobeny hodnoty regresní vrstvy. Pro ty hodnoty, které chceme aktualizovat má maska hodnotu 1 a zbylé mají hodnotu 0. Hodnota chybové funkce je spočítána pomocí Smooth L1 Loss (s redukcí pomocí operace scítání, více 2.5.2) nad rozdílem predikce vynásobené maskou a trénovacím vzorem. Vypočtenou chybu pro regresní vrstvu znacíme \mathcal{L}_{REG} . Masku je použita, protože všechny hodnoty masky nastavené na 0 se nebudou podílet na získání hodnoty chybové funkce. Je-li hodnota masky pro nejaký anchor nastavená na hodnotu 0 pak je i hodnota vzorové transformace pro daný anchor nastavená práve na 0. Rozdíl predikce vynásobené maskou a vzoru pro tento anchor se rovná 0, což znamená, že pro tuto kombinaci není, co bylo treba optimalizovat.

6.4.3 Príprava vzoru pro učení

Aby se síť naučila klasifikovat ty správné boxy, jsou v preprocessingu náhodně navzorkovaný pozitivní a negativní anchory, všechny ostatní jsou v trénování vynechány. Vzorky, které mohou být považovány za pozitivní, či negativní, a mohl je algoritmus náhodně vybrat jako kandidáty k učení, musí se anchor box a vzorový anotovaný box z velké části prekrývat. Hodnota prekryvu je dána funkcí Intersect over Union [18] (dále jen IOU), která vypočítá poměr mezi plochou sdílenou mezi boxy a celkovou plochou kterou boxy dohromady zabírají. IOU nabývá hodnoty 1 pokud jsou boxy totožné a 0 pokud boxy se vůbec neprekryvají. Tuto funkci mužeme pozorovat graficky v obrázku 6.6.



Obrázek 6.6: Funkce IOU znázorněna graficky pro dva boxy.

Dalším kritérium výběru anchoru, je že žádny z kandidátních anchorů pro trénování nemá presahovat za hranice obrázku. Všechny anchory, které ano jsou ignorovány. Algoritmus nejdříve vybere všechny kandidáty, které nejlépe prekrývají jeden z anotovaných vzorových bounding boxů. Dále jsou náhodně dovybrány ze všech kandidátů ti, kteří mají hodnotu prekryvu vyšší, než je stanovený pozitivní práh (v tomto projektu se jedná o hodnotu 70%), aby byl splněný počet pozitivních záznamů. Všechny vybrané pozitivní záznamy, ztotožňují anchory jejichž ohodnocení chceme zlepšovat. Jakmile jsou všechny pozitivní záznamy vybrány je potreba ještě určit negativní anchor boxy. Ty se vybírají oproti pozitivním boxům

opacne. Ze všech zbylých kandidátu se vyberou ty, které mají hodnotu prekryvu nižší než stanovený negativní práh. To jsou zase hodnoty anchoru, které při učení zhoršíme. Všechny ostatní anchory ignorujeme. Vzor trénování klasifikace nabýva třech hodnot, 0 pokud se jedná o negativní anchor, 1 pokud je anchor pozitivní a -1 pokud je anchor box při trénování ignorován. Počet této vzorku a poměr pozitivních vůči negativním anchorům a hodnota hranice, kdy je box považován jako kandidát pro učení (at už pozitivní, či negativní vzorek), je nastavitelný v konfiguračním souboru.

Pro všechny takto vybrané pozitivní anchory je dále dopocítán i vzor pro regresi transformačních funkcí. Záporné anchory jsou v optimalizaci regrese vynechány, protože to ani není logické. Pro každý z těchto pozitivních anchorů je vybrán anotovaný box, který má největší hodnotu prekryvu. Tím pádem se daný anchor bude snažit co nejvernejí napodobit tento anotovaný box. Proto je potřeba určit transformační vektor, který je potřeba k transformaci daného anchor boxu na anotovaný box. Ten získáme pomocí následujících rovnic:

$$t_x = \frac{g_x - a_x}{a_w}, \quad (6.5)$$

$$t_y = \frac{g_y - a_y}{a_h}, \quad (6.6)$$

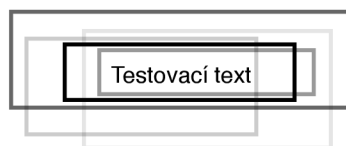
$$t_w = \ln \frac{g_w}{a_w}, \quad (6.7)$$

$$t_h = \ln \frac{g_h}{a_h}, \quad (6.8)$$

kde vektor (a_x, a_y, a_w, a_h) obsahuje parametry anchor boxu, vektor (g_x, g_y, g_w, g_h) obsahuje parametry anotovaného boxu, kterého chceme dosáhnout, a vektor (t_x, t_y, t_w, t_h) obsahuje transformační parametry podle nichž se bude sít pro daný anchor box optimalizovat, aby dosáhla anotovaného boxu. Zároveň s výpoctem tohoto transformačního vektoru pro daný anchor je pro nej nastavena hodnota maska (M_x, M_y, M_w, M_h) na $(1, 1, 1, 1)$. Pro všechny nezácastnené anchor boxy jsou nastaveny vektory vzoru transformačních parametrů a masky na hodnotu $(0, 0, 0, 0)$.

6.4.4 Filtrování predikovaných regionů

Z dudu, že se pro každý pixel mapy vlastností predikují transformace mnoho (v našem případě 16) anchor boxu. Kvuli jejich obrovskému množství (960000 predikcí pro obrázek velikosti 1200x800) je potreba z techto vzorku vybrat ty nejvhodnejší. Nejprve seradíme se stupně ohodnocení pravdepodobnosti boxu, že je text. Z techto pravdepodobností vybereme prvních N boxu (konfigurovatelné pomocí hodnoty `num_boxes_pre_nms`). Tím dostaneme pouze ty nejlépe ohodnocené boxy, které byly predikovány. Avšak muže nastat situace, kdy více predikcí spadá do stejné oblasti obrázku a predikují totožný objekt. Tuto situaci mužeme pozorovat v obrázku 6.7, kde jsou zobrazeny boxy s ruznou hodnotou pravdepodobnosti, které je zobrazeno intenzitou šedé barvy.



Obrázek 6.7: Predikce boxu, které se prekrývají v dané oblasti.

Pro odfiltrování techto hodnot je použit algoritmus Non-Maximum Suppression (dále jen NMS). Algoritmus projde všechny zadané boxy a vybere pro dané oblasti pouze ty které mají nejvyšší skóre. Prekryvy boxu jsou porovnány pomocí funkce IOU (viz výše). Implementaci NMS je možné videt v algoritmu 3. Algoritmus vrací indexy bounding boxu, jež se mají zachovat.

Algoritmus 3: Non-Maximum Suppression.

Data:

box - Seznam souradnic boxu,
score - Seznam ohodnocení boxu,
N - Celková délka techto seznamu.

threshold - Práh pro hodnotu prekryvu, nad kterou potlacujeme.

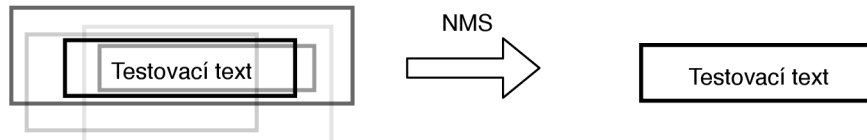
Result: *keep* - Seznam indexu boxu, které jsou zachovány.

```

1 keep ← prázdný seznam.
2 supressed ← seznam velikosti N nastavený na False
3 order ← reverse argsort(score)           // Sestupne serazené indexy score
4 for i = 0; i < N; i++ do
5   idx ← order[i]
6   if supressed[idx] is False then
7     keep.push(idx)
8     for j = i + 1; j < N; j++ do
9       jdx ← order[j]
10      if supressed[jdx] is False then
11        if IOU(box[idx], box[jdx]) ≥ threshold then
12          supressed[jdx] ← True

```

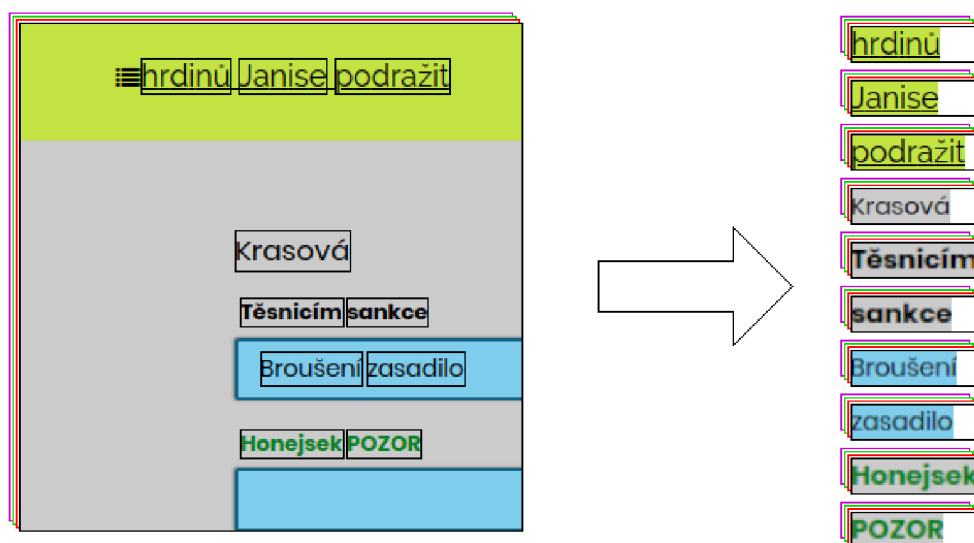
Aplikací algoritmu na boxy z predchozího obrázku mužeme pozorovat v obrázku 6.8. V obrázku je patrné, že je zachován pouze ten nejlépe ohodnocený box (nejvíce intenzivní hodnota šedi) a všechny ostatní boxy jsou algoritmem potlaceny. Díky tomu nevznikají duplikáty pro stejné oblasti.



Obrázek 6.8: Prekrývající se predikce boxu, jsou pomocí metody Non-Maximum suppression odfiltrovány.

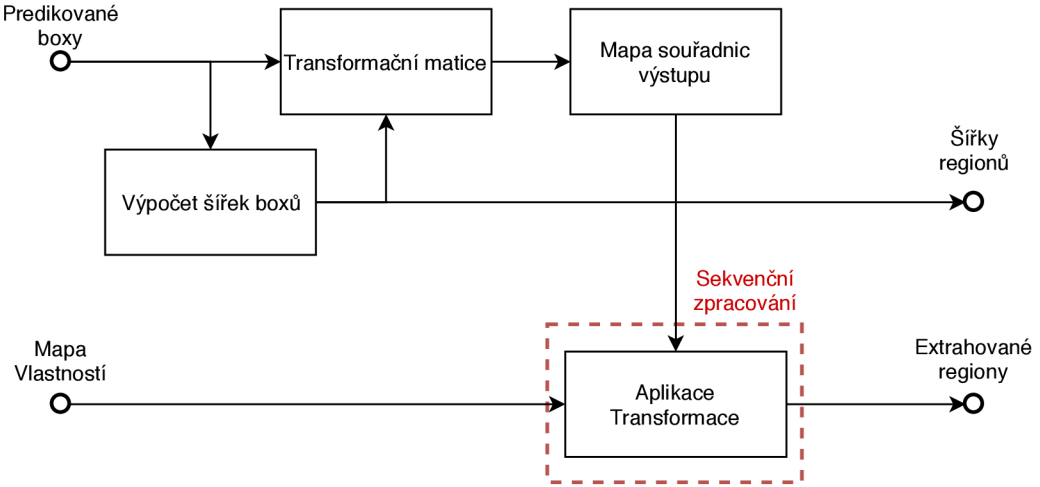
6.5 Extrakce regionu

Dalším krokem extrakce regionu získaných v predchozím kroku z mapy vlastností. Tento krok je vhodný, protože další části se budou pracovat pouze s daty jež patří danému regionu. Tento krok mužeme rozdělit na dve části, príprava transformační dat a aplikování tehto transformací pomocí spatial transformer network [10] na zadanou mapu vlastností. Výsledek, který tento modul produkuje, mužeme pozorovat na obrázku 6.9. V levé části obrázku je mapa vlastností s vyobrazenými boxy, v pravé jsou získané regiony z této mapy. Pro lepší predstavu jsou mapa vlastností i výsledné regiony zobrazeny pomocí vstupního obrazu, ve skutečnosti se však jedná o tenzor s 256 kanály.



Obrázek 6.9: Extrakce regionu z mapy vlastností.

Texty v obraze není vhodné zmenšit do stejne rozmerné oblasti jako se tomu deje v RoI poolu metody R-CNN [4, 5], a to zejména kvuli dvema faktorum. Slova textu mají variabilní délku a kdyby se slova o ruzných délkách meli vmostnat do stejné oblasti tak dojde ke ztráte informací následná klasifikacní sít by mohla mít problémy. Tento princip je však ale vhodný pro zpracování jednotlivých písmen, ale kvuli tomu by musel být anchor boxu mnohem větší a mapa vlastností více citlivá. Dalším faktorem, proc tento zpusob není vhodný jsou ruzné fonty. Stejná slova zobrazená s jinými fonty mohou mít úplne odlišné charakteristiky a opet muže pri zmenšení do stejné oblasti dojít ke ztráte dat. Blokový model tohoto modulu je možné sledovat na obrázku 6.10



Obrázek 6.10: Model extrakce regionu.

Rešením získání slov je ponechat rozmery všech textu a zmenšit je do oblasti s fixní výškou (v této práci se jedná výšku 8 pixelu) a ponechat šírku jako promennou. A obecně mužeme pro jeden box tuto transformaci lze zapsat jako zobrazení jež mení rozmery tenzoru:

$$T : \mathbb{R}^{C \times H \times W} \rightarrow \mathbb{R}^{C \times H' \times W'}, \quad (6.9)$$

kde C je počet kanálů vstupního i výstupního tenzoru, H a W jsou šírka, resp. výška vstupního tenzoru, a H' , W' jsou šírka, resp. výška výstupního tenzoru. H' znací stanovenou konstantní výšku a W' se na základě boxu musí dopocítat.

$$w_t = h_t \frac{x_{\max} - x_{\min}}{y_{\max} - y_{\min}}, \quad (6.10)$$

kde h_t je zvolená konstantní výška okna, x_{\min} , x_{\max} , y_{\min} , y_{\max} znací souřadnice boxu, w_t je šírka okna pro daný box. Rozmery h_t a w_t dohromady udávají velikost výstupního tenzoru pro tento box (hodnoty pro H' , W'). Obecně každý z predikovaných boxů může mít různou šírku, ale pro další zpracování používáme tu největší šírku ze všech boxů, aby bylo možné všechny transformované regiony reprezentovat jako jediný tenzor s rozmiesty $\mathbb{R}^{N \times C \times H' \times W'}$ (N udává počet predikovaných boxů). Regiony, jež jsou kratší jsou do dané šírky doplneny prázdnými hodnotami.

Data ze vstupní mapy jsou pro každý box transformována pomocí affinní transformační matice, která se skládá z translace boxu do středu prostoru a zmenou merítka:

$$M = s \begin{pmatrix} 1 & 0 & -x_{\min} \\ 0 & 1 & -y_{\min} \\ 0 & 0 & \frac{1}{s} \end{pmatrix} \quad (6.11)$$

Na základě této transformační matice lze určit pro souřadnice vstupního obrazu souřadnice ve výstupním:

$$\begin{pmatrix} x_{ij}^s \\ y_{ij}^s \\ 1 \end{pmatrix} = M \cdot \begin{pmatrix} x_{ij}^t \\ y_{ij}^t \\ 1 \end{pmatrix}, \quad (6.12)$$

kde (x_s, y_s) jsou souřadnice ze zdrojového tenzoru, (x_t, y_t) jsou souřadnice v cílovém tenzoru, $1 \leq i \leq H'$ a $1 \leq j \leq W'$. Toto mapování však není příliš praktické, protože pri určitých

parametřech mohou vznikat ve výstupním tenzoru díry. Tím se myslí bod, do kterého nebyly transformovány hodnoty ze žádného bodu zdrojového tenzoru. Efektivnejší mapování je pro každé výstupní souradnice urcit pozice bodu ze zdrojového tenzoru. Tím je zaručeno, že díry vzniknout nemohou. Souradnice, které jsou mapované do necelocíselných souradnic, jsou ze zdrojového obrazu vzorkovány pomocí interpolacní metody (jmenovite bilineární interpolace). Tuto praktiku nazýváme v počítacové grafice jako inverzní mapování. Získaná transformace je aplikována následující rovnici

$$V_{ij}^c = \sum_n^H \sum_m^W U_{nm}^c \max(0, 1 - |x_{ij}^s - m|) \max(0, 1 - |y_{ij}^s - n|), \quad (6.13)$$

kde $1 \leq c \leq C$ je kanál vstupního i výstupního tenzoru, U_{nm}^c je hodnota vstupního tenzoru na kanálu c a souradnicích n, m , dále V_{ij}^c je hodnota výstupního tenzoru na souradnicích $1 \leq i \leq H'$ a $1 \leq j \leq W'$. Funkce max v tomto případě realizuje bilineární interpolaci – je-li rozdíl mezi hodnotami m a x_{ij}^s velmi malý, pak hodnota funkce max je nenulová a vzorek z dané osy x je zohlednen, to stejně platí i pro osu y . Dohromady pokud jsou výsledky obou funkcí max nenulová je vzorek U_{mn}^c zahrnut ve výsledku pomerem daným dle výsledku zmíněných funkcí.

Aplikování této transformace je provedeno pomocí knihovny PyTorch, která výše uvedenou rovnici realizuje. Konkrétně se jedná o funkci `grid_sample`, která na základě vstupní mrížky souradnic, jež má rozmer $\mathbb{R}^{B \times H' \times W' \times 2}$ (promenná B znázorňuje pocet dávek zaráz), a zdrojového tenzoru určí hodnoty výsledného okna. Mrížka souradnic je velikosti výstupního okna, které požadujeme a pro každou z těchto souradnic je určena dvojice souradnic (x, y) odpovídající zdrojovému obrazu, tyto hodnoty získáme pomocí inverzní matici k M uvedené výše. Souradnice v rámci této funkce jsou normalizovány do rozsahu $\langle -1; 1 \rangle$, proto ještě potřeba transformované souradnice dále normalizovat pomocí:

$$\bar{x}_{ij}^t = 2 \frac{x_{ij}^s}{W} - 1, \quad (6.14)$$

$$\bar{y}_{ij}^t = 2 \frac{y_{ij}^s}{H} - 1, \quad (6.15)$$

kde \bar{x}_{ij}^t a \bar{y}_{ij}^t jsou transformované souradnice do normalizovaného rozsahu uvedeného výše.

Jak už bylo zmíněno výše je detekce textu velmi závislá korektnosti detekce, proto pri trénování používáme pouze validní anotované boxy narozdíl klasicky používaných algoritmu pro detekci objektu. Pri použití predikovaných boxu by mohli vzniknout situace kdy predikovaný box nepokryje veškeré slovo textu, nebo box může být výrazně větší než daný text a jiné. Tyto situace mají pak špatný účinek na efektivní trénování sítě pro detekci textu a tomu se práve predejde použitím anotovaných boxu, protože u nich víme, že presne odpovídají textu, jež ohraňují.

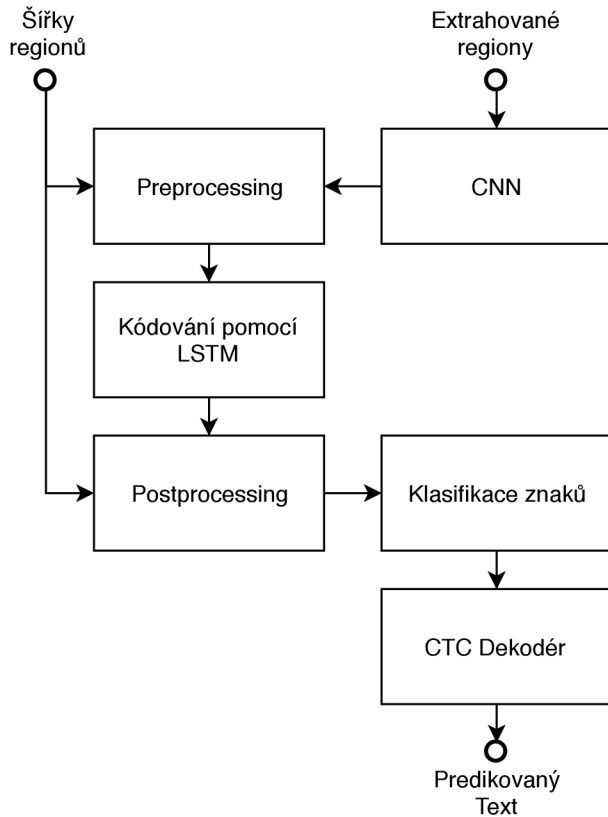
Tento modul provádí transformace mapy vlastností jednotlivé po boxech. Duvodem toho je velmi velká pametová náročnost funkce `grid_sample` pri transformaci všech boxu zaráz. Chceme-li tuto metodu aplikovat pro dva boxy paralelně je potreba duplikovat vstupní mapu vlastností. Velikost této mapy je variabilní, ale pri ucení je omezena na rozmery 200×300 s 256 kanály. Pridáme-li k tomu velikost datového typu float16 a pak dostaneme 30 MB na jeden obrázek. Pocet boxu textu v obraze se v datasetu pohybuje pres 400. Tohle je pocet kolikrát musíme rozšírit mapu vlastností, aby bylo možné transformaci pro všechny boxy zpracovat paralelně. Tím dostaneme tenzor o velikosti 12 GB. To je velikost, která se na standardní grafické karty² nevezde, a to nepocítáme parametry sítě jako jsou

²Mezi standardní grafické karty nejsou pocítány high-end karty jako je NVidia Volta a podobné

váhy, pomocné tenzory atp. Pri inferenci a použití vetsích obrázku muže sít dosahovať mnohem větších velikostí. Proto jsou v modulu všechny boxy transformovány sekvenčně. Avšak tento přístup je však více casove složitejší, a výsledné trénování, prípadne inference je velmi pomalá.

6.6 Rozpoznání textu

Posledním krokem algoritmu je rozpoznání textu ze získaných regionů z predchozího kroku. Každý tento region obsahuje část sdílené mapy vlastností, která koresponduje danému boxu slova, jež chceme rozpoznat. Zároveň s regiony jsou vyžadovány i šírky techto regionu, protože jsou regiony zarovnány do šírky nejdelšího. Zpracování techto regionu probíhá v několika sekčích nejprve je na regiony aplikována sekvenční konvolucní síť (podobně jako pri extrakci mapy vlastností, viz 6.3). Dále je výsledek konvolucní sítě transformován na sekvenči, která je pomocí obousmerné LSTM zakódována. Výstupy smeru jsou zkombinovány a pro jednotlivé úseky sekvence je provedena klasifikace do zvolené množiny znaku. Sekvence hodnot klasifikací je dekódována pomocí CTC a výsledkem je predikovaný text. Schéma tohoto modulu mužeme pozorovat na obrázku 6.11.



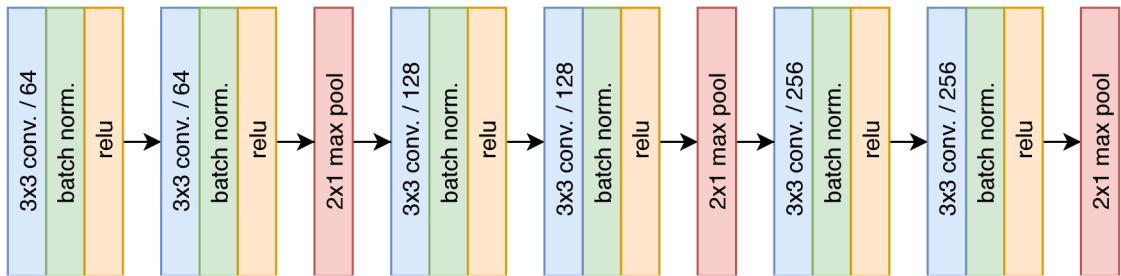
Obrázek 6.11: Model rozpoznání textu

6.6.1 Redukce vlastností regionu

Z prechozích kroku jsou získány regiony s variabilní šírkou, avšak pro další zpracování je potreba tento region zredukovať do 1dimenzionální sekvence vektoru, která je potreba pro použití rekurentní sítě. Chceme však zachovat šírku regionu. Proto na výsledné regiony je

aplikována konvolucní síť podobná VGG, která zredukuje rozmery techto regionu a získá z nich vlastnosti vyšší úrovne.

Tato konvolucní síť se skládá ze tří vrstev, které sdílí stejnou velikost kanálu. A to konkrétně 64 kanálu v první vrstvě, 128 ve druhé a 256 ve tretí. Každá z techto vrstev se skládá ze dvou operací konvoluce s jádrem velikosti 3. Za každou operací konvoluce následuje operace normalizace dárky jejíž výsledek je aktivovaný operací ReLU. Na konci každé z techto tří vrstev následuje operace max-pool. Avšak oproti síti VGG, je operace max-pool nastavena na agregaci hodnot pouze ve vertikální ose. Tím je zaručeno, že po provedení konvolucní sítě se výška regionu zredukuje a původní šířka zustane zachovaná. Výsledkem této vrstvy je tenzor $\mathbb{R}^{C \times W'}$, jež je dále pomocí LSTM zakódován. Model této konvolucní sítě je možné pozorovat na obrázku 6.12.



Obrázek 6.12: Model CNN v rámci modulu rozpoznání textu.

6.6.2 Použití rekurentní sítě

Tenzor získaný pomocí konvolucní sítě $L \in \mathbb{R}^{C \times W'}$ mužeme permutovat do sekvence ve tvaru $l_1, l_2, \dots, l_{W'} \in \mathbb{R}^C$. Podíváme-li se na tuto sekvenci jako na casovou radu, pak je možné chápat jednotlivé hodnoty v cusech této rady jako vývoj spektra, které dohromady tvorí obraz daného slova. Tento přístup je používán například i pri rozpoznání zvuku, avšak rozpoznaní slov z obrazu je daleko složitejší, protože muže obsahovat daleko více promenných. Mezi ne patří například nastavení a parametry fontu jimž je text vyobrazen, kontrasty barev pozadí vuci textu atd. Dále se na získané sekvence aplikuje rekurentní neuronová síť, která má za úkol naucit se sekvenci replikovat. A to zpusobem že získá ze sekvence širší kontext struktury, jakým zpusobem jsou jednotlivé casové kroky na sobe závislé. K temto úcelum byla v práci využita obousmerná rekurentní síť LSTM, o jejíž principu i výhodách bylo psáno v kapitole 2.4.6.

Použitá rekurentní síť LSTM je implementována za pomocí knihovny PyTorch a vyžaduje na vstupu tenzor rozmeru uvedených výše. Jelikož jsou všechny textové boxy variabilní, ale jsou zarovnané do stejné velikosti, nedává smysl urcovat hodnoty sekvencí pro casové body, které nenáleží vstupu. Řešením je zabalit výše uvedenou sekvenci pomocí metody `pack_padded_sequence`. Tato metoda vyžaduje na vstupu serazené všechny boxy sestupne podle jejich délky. Proto je potreba predpripravit pole indexu, které odpovídají požadované serazené posloupnosti. Pole indexu je vhodné díky tomu, že se data nachází dvou ruzných tenzorech a je možné to využít na serazení obou zaráz. Takové serazené pole dosáhneme pomocí metody `arg_sort`. Zabaleny tenzor poté predáme obousmerné vrstve LSTM, která je nastavená na 256 výstupních kanálu. Tím získáme dve sekvence: jedna kóduje vstupní sekvenci od zacátku po konec a druhá od konce po zacátek. Každá se zakódovaných sekvencí obsahuje 256 kanálu pro každý bod. Výstupem je ale zabalena sekvence, kterou musíme opet na základe délek rozbalit. K tomu je použita metoda `pad_packed_sequence`, která z ruzne

velkých sekvencí vytvorí zpátky tenzor. Oba sekvence (dopředná i zpětná) jsou následne zkombinovány a výsledek je dále klasifikován.

6.6.3 Klasifikace a dekódování

Z predchozí části dostaneme sekvence, kde každý bod obsahuje 256 kanálů. Na každý z těchto bodů je aplikována plně propojená vrstva, jejíž počet výstupních elementů je stejný jako velikost množiny znaku, které klasifikujeme (v rámci této práce se jedná o 131 znaku). Množina znaku je definována podle datové sady a obsahuje dva speciální znaky: prázdný znak a neznámý znak. Po této vrstvě je aplikována vrstva Softmax, která prevede hodnoty do rozdelení míry pravdepodobnosti, pro jednotlivé znaky. Hodnotu znaku pro daný časový bod sekvence určíme jako znak s nejvyšší mírou pravdepodobnosti.

Sekvenci ještě musíme dekódovat, protože šířka predikovaného boxu, pomocí něhož byl region pro rozpoznání extrahován, nemusí odpovídat i šířce výsledného textu. K tomu je použit Connectionist-Temporal-Classification (o CTC více v kapitole ??). Tento dekódér slouží ke klasifikaci sekvencí tak, aby nebyla závislá v case. Bez CTC by musel být dataset připraven tak, aby bylo presne jasné, v jaký časový okamžik bude síť produkovat požadovaný výsledek. Použitím CTC umožníme síti se naucit klasifikovat sekvenci, tak aby na konci vyprodukovala sekvenci, která je požadována na výstupu. Dekódování sekvence je implementováno pomocí algoritmu 4. Algoritmus odfiltruje duplicitní znaky a získáme cistou sekvenci, která poslouží jako výstup. Aby tento výstup byl pro nás užitečný je ještě treba zpetne priradit Unicode hodnoty znakům na základě indexu trídy.

Algoritmus 4: Dekódování CTC sekvence.

Data:

input_text - Seznam nejpravdepodobnejšími znaky.

N - Délka tohoto seznamu.

Result: *decoded_text* - Výsledný seznam znaku.

```
1 decoded_text ← prázdný seznam.
2 last_char ← blank
3 for i = 0; i < N; i++ do
4   | in_char ← input_text[i]
5   | if in_char is blank then
6   |   | last_char ← in_char
7   |   | continue
8   | if last_char is blank then
9   |   | decoded_text.push(in_char)
10  | else if in_char is not last_char then
11  |   | decoded_text.push(in_char)
12  |   | last_char ← in_char
```

6.7 Problémy, složitost

Pri rešení tohoto projektu vzniklo mnoho komplikací, kde jedním z nejvíce castých problému byl nedostatek pameti. Mnoho úseku kódu díky tomu muselo být z paralelního zpracování, které je rychlé ale velmi pametove nárocné, sníženo na sekvenční zpracování. Jeden z problému už byl zmíněn pri v kapitole extrahování regionu. Aby bylo možné provést operaci samplování paralelne bylo by potreba velmi velké pameti.

Dalším problémem, který se také projevil vysokou pametovou nárocností systému byla anomálie v datasetu. Kde jeden obrázek datasetu obsahoval slovo, které se ovšem zalomilo do následujícího rádku. Díky tomu vznikl bounding box pres celý text. Tento problém byl závažný ze dvou důvodu, prvne anotovaný box neodpovídá skutecnosti a taková datová sada by mohla by se mohla podílet na špatné konvergenci síte. Avšak tento problém se nijak výrazne neprojevil, dokud byla trénována pouze první polovina síte (po predikci regionu). Jakmile se však zacal trénovat celý systém naráz, nastala situace, kdy tento box, který zabíral více než polovinu šírky celého obrazu, zpusoboval nadbytecné alokace pameti. Duvodem alokací je, protože všechny boxy, které extrahuje z obrazu, jsou zarovnány na stejnou šírku v pameti. Pri konvolucní síti uvnitř části s predikci textu nastal tento problém a vždy skoncil pádem z důvodu nedostatku pameti.

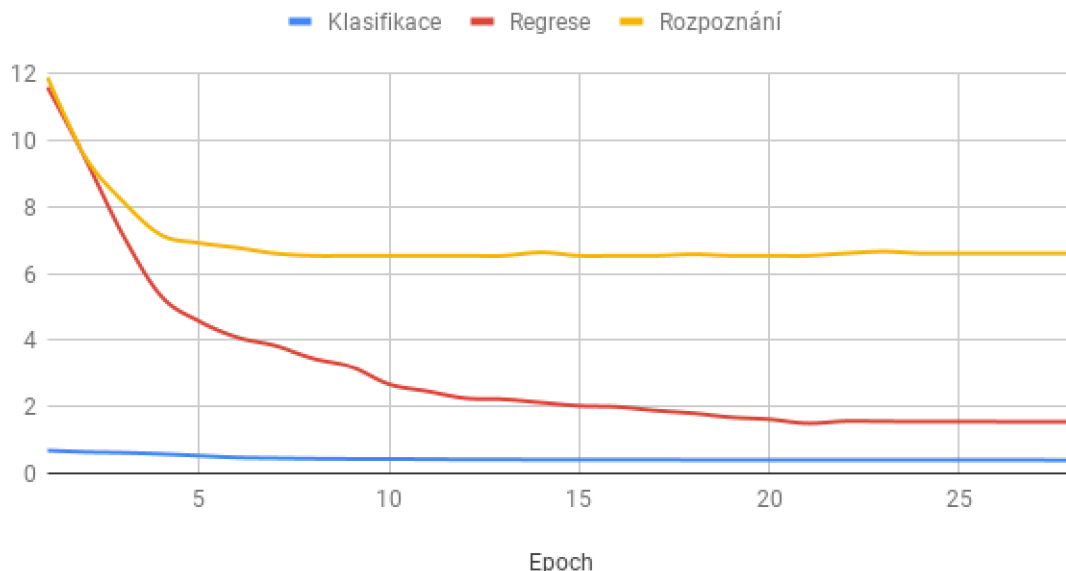
Rešení, nebo vubec zjištění důvodu tohoto problému zabralo hodne casu, protože pri ucení se problém projevil pouze u této jediné položky a dataset je automaticky pro každou epochu náhodne zamíchán. Tato chyba se díky tomu projevovala velmi zřídka, proto jsem celou dobu považoval, že se chyba nachází uvnitř implementovaného systému. Casto se tato chyba objevila až pozdeji v rámci epochy ucení, která trvá približne až 5 hodin. Nejprve jsem mysel, že se data do celé síte nevezjdou, tak jednoduché a automatické rešení je snížit velikost datové sady škálováním. Ukázalo se však, že nesejde na velikosti vstupního obrázku, protože pri zmene velikosti obrázku jsou stále zachovány pomery mezi stranami boxu. Po nekolika neúspěšných uceních síte jsem zacal zkoušet další možné rešení. Nekteré operace, na kterých aplikace padla, vytvárely nové tenzory. V části rozpoznání síte, konkrétně pri operaci `pad_packed_sequence` byl castý problém s nedostatkem pameti, který vedl k pádu aplikace. V danou chvíli jsem se snažil snížit využívanou pamet grafickou kartou na minimum a nekteré operace, které nevyžadovali paralelní zpracování, byly presunuty a pocítány sekvenční na procesoru. Avšak ani toto rešení problém nevyřešilo tak jsem mysel, že bud jazyk Python nebo knihovna PyTorch neuvolnují dostatek pameti pro další alokace, anebo jej uvolnují na špatném místě. Zkusil omezit nárocnost tohoto systému tak, že veškerou nepotřebnou pamet rucne uvolním smazáním reference na danou promennou a následného uvolnení pameti prýmým voláním garbage collectoru. Stejne jako pri ostatních rešeních se toto ukázalo být neefektivní a problém stále setrvával. Po vyčerpání všech možností síte jsem nakonec obrátil pozornost i k datasetu. Až v tento okamžik jsem na anomálii narazil. Problém byl vyřešen vygenerováním nového datasetu a rucním procházením všech vygenerovaných souborů, zda se v nich nenachází také tato anomálie.

Kapitola 7

Experimenty

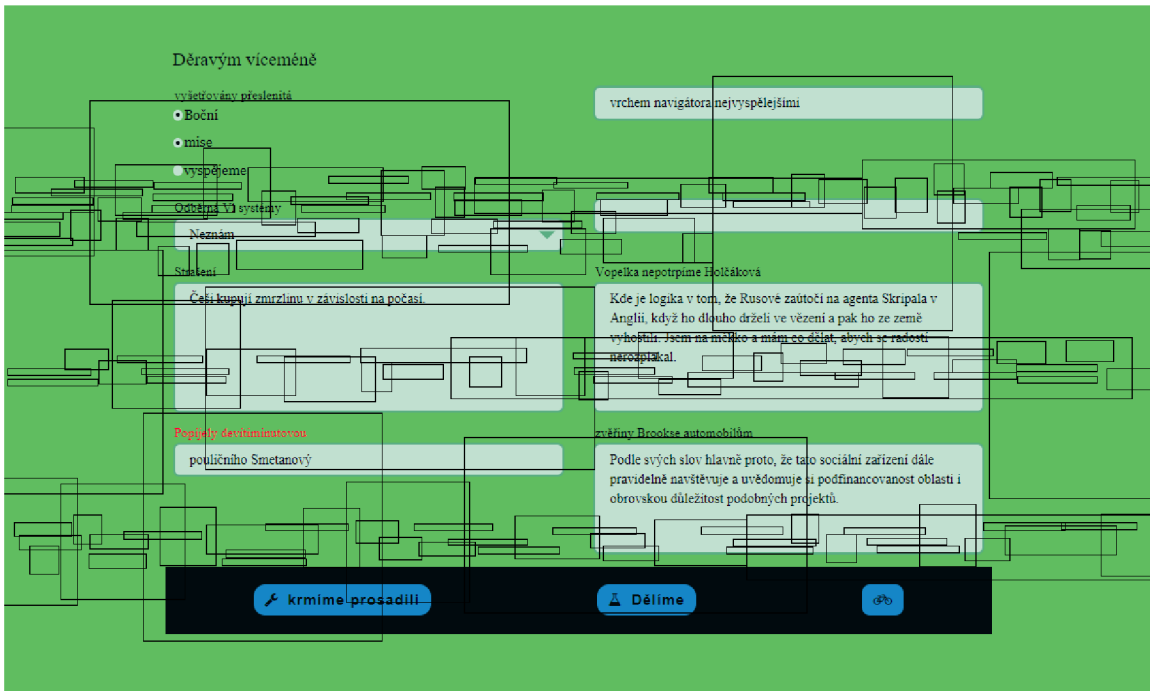
Model sítě, který byl predstaven v predchozí kapitole, byl ucen na stroji se dvěma grafickými kartami NVidia GTX-1080. Jako učební vzor byl vygenerován pomocí nástroje „gui-generator“ dataset s obrázky rozmeru 1200x800 obsahující více než 500 obrázků. Tento model je však velmi výpočetně náročný a délka jedné iteraci datové sady pohybovala až k 10 minutám. Model se učil déle než týden na daném stroji a provedl 28 epoch trénování v grafu na obrázku 7.1 je možné videt pohyb chybových funkcí. Z grafu je patrné, že síť do epochy 20 konvergovala a poté se optimalizace sítě zastavila a poté kmitala okolo bodu.

Error funkce Klasifikace, Regrese a Rozpoznání

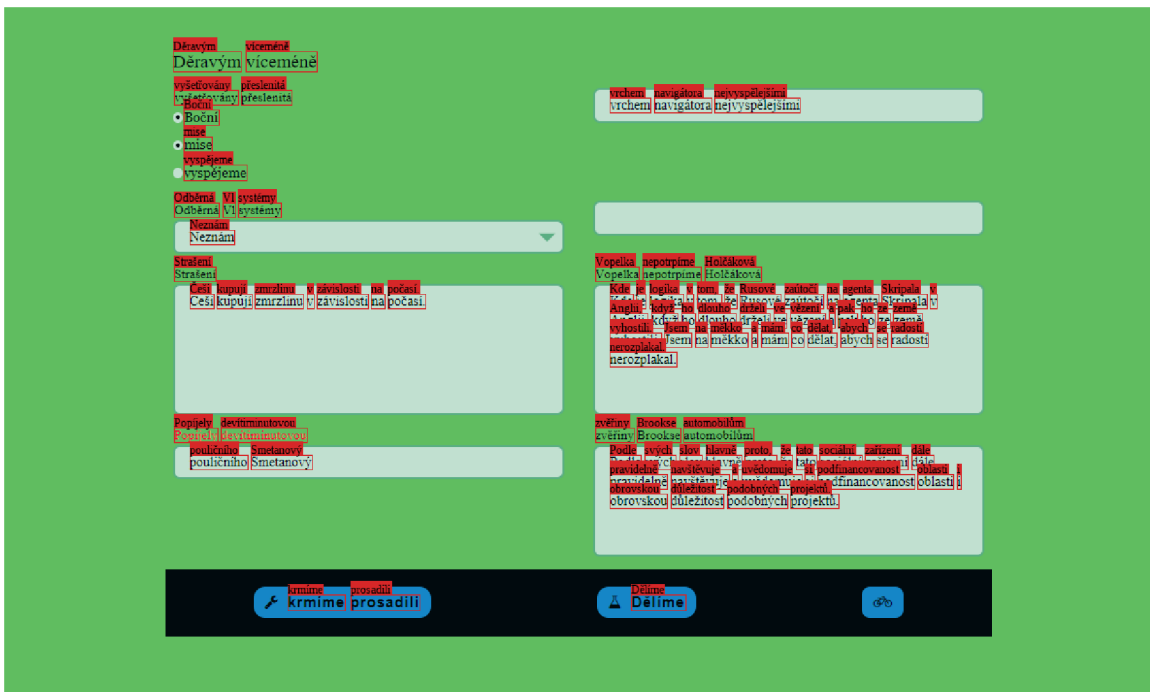


Obrázek 7.1: Znázornení prubehu loss funkcí pri trénování.

Avšak týden učení tomuto modelu ani zdaleka nestací a jak mužeme pozorovať na výsledcích tohoto modelu v následujícím obrázku 7.2. V obrázku jsou zobrazeny bounding boxy, které systém predikuje nad skóre 95%. Jak je možné videt ze vzorových dat v obrázku 7.3



Obrázek 7.2: Ukázka výstupu modelu po 28 epochách trénování



Obrázek 7.3: Stejný obrázek v anotované sade.

Problémy tohoto systému tkví pravdepodobně v nedostatku casu na učení systému. Možným dalším dusledkem jsou špatne zvolené pocátecní váhy systému, prípadne rozšírení bounding boxu. Kvuli vyprodukovaným výsledkum implementovaného systému, nebyl systém porovnán vuci ostatním metodám.

Na vyhodnocení jednotlivých služeb rozpoznání textu byla implementována metrika merení ZoneAltCnt (kapitola 3.2.2). Pro merení byla, pomocí nástroje gui-generátor (popsaného v kapitole 4), vytvorená datová sada cítající 1950 anotovaných obrázků. Hlavními metrikami merení byly metrika znaku, slov a úplná metrika. V následující tabulce (7.1) mužeme pozorovat, jak si jednotlivé služby vedly.

Tabulka 7.1: Vyhodnocení OCR

OCR	Metrika znaku		Metrika slov		Úplná metrika	
	Citlivost	Presnost	Citlivost	Presnost	Citlivost	Presnost
Microsoft Azure	83.21%	87.00%	79.50%	80.35%	79.38%	80.43%
Google Cloud Vision	87.36%	86.72%	85.89%	73.26%	83.19%	70.96%

Nejdůležitějším merením je citlivost znaku, protože chceme detektovat všechny texty datové sady, a toho dosáhneme při citlivosti 100%. Mužeme pozorovat, že obe služby správně rozpoznaly více než 80% znaku datové sady. Všechny ostatní znaky jsou bud chybne klasifikovány, nebo je algoritmy nedetekovaly vůbec. Co se týče presnosti, vidíme že u obou algoritmu približně 87% korektních predikcí. Ostatní mohou být neshody znaku, ci predikce mimo textové oblasti. Podíváme-li se na metriku slov, vidíme, že služba Microsoft Azure OCR (dále jen Azure OCR) správně rozpoznala 79,5% anotovaných slov datové sady. Ale také mužeme pozorovat podle úplné metriky, že míra rozpoznání slov i se segmentací je 79,38%. Rozdíl techto dvou hodnot znací, že segmentace slov služby Azure OCR je velmi podobná té, která je použita v datové sadě.

Služba Google Cloud Vision (dále jen Google Vision) má výrazně vyšší míru rozeznání slov vůči testované datové sade oproti službě Azure OCR. To naznacuje že Google Vision „vidí“ více slov datové sady, což mužeme pozorovat i na citlivostí znaku. Ovšem rozdíl mezi úplnou metrikou a metrikou slov naznacuje, že Google Vision využívá jinou metodu segmentace obrazu, než je použita v datové sade. Tedy pokud by se segmentace zmenila na tu, jež je použita pro datovou sadu, pak by se výsledek úplné metriky zlepšil o 2.6%.

Kapitola 8

Záver

V rámci práce byly nastudovány metody zpracování obrazu pomocí neuronových sítí včetně zamerení na metody hlubokého učení. Byly prozkoumány metody rozpoznání textu z obrazu, které využívají práve neuronové sítě. Aplikace gui-generátor byla rozšířena o širší možnosti generování různých grafických webových rozhraní a posloužila pro generování datové sady. Byla vytvořená datová sada obsahující přibližně 1900 obrázku uživatelských rozhraní včetně jejich anotací. Ty jsou určeny k validaci výsledku a poslouží i jako datová sada pro učení sítě. Byl implementován program pro vyhodnocení kvality algoritmu OCR na základě zvolené metriky. Pomocí tohoto programu a výše vytvořené datové sady byly jednotlivé služby ohodnoceny definovanou metrikou rozpoznání textu a jejich výsledky dále prozkoumány.

Navržená síť byla implementována, a natrénována na vygenerované datové sady. Avšak nepodařilo se dosáhnout trénováním takové konfigurace, kdy by síť dokázala predikovat dobré výsledky. Návrh i implementace této sítě byla velmi velká výzva. Výsledný model kombinuje dohromady mnoho principu novodobých neuronových sítí. Mezi ne patří vytažení vlastností z obrazu, predikce bounding boxu ze získaných vlastností, extrakce vlastností patřící konkrétnímu boxu i rozpoznání textu pomocí rekurentní sítě. Výsledek natrénovaného modelu není uspokojující kvůli problémům, které se objevili při implementaci a opozdili trénování modelu.

Dalším možným vývojem systému je alespon mesíční trénování sítě. Nebo možným urychlením je implementace funkcí jako je například NMS pomocí programovacího nástroje CUDA.

Literatura

- [1] Arabnia, H. R.; Deligiannidis, L.; Tinetti, F. G. (editoři): *Proceedings of the 2018 International Conference on Image Processing, Computer Vision, & Pattern Recognition*, CSREA Press, Červenec 2018, ISBN 1-60132-485-5.
- [2] Chen, X.; Yuille, A. L.: Detecting and reading text in natural scenes. In *Proceedings of the 2004 IEEE Computer Society Conference on Computer Vision and Pattern Recognition, 2004. CVPR 2004.*, ročník 2, June 2004, ISSN 1063-6919, s. II–II.
- [3] Deng, J.; Dong, W.; Socher, R.; aj.: ImageNet: A Large-Scale Hierarchical Image Database. In *CVPR09*, 2009.
- [4] Girshick, R. B.: Fast R-CNN. *CoRR*, ročník abs/1504.08083, 2015, 1504.08083.
URL <http://arxiv.org/abs/1504.08083>
- [5] Girshick, R. B.; Donahue, J.; Darrell, T.; aj.: Rich feature hierarchies for accurate object detection and semantic segmentation. *CoRR*, ročník abs/1311.2524, 2013, 1311.2524.
URL <http://arxiv.org/abs/1311.2524>
- [6] Goodfellow, I.; Bengio, Y.; Courville, A.: *Deep Learning*. MIT Press, 2016,
<http://www.deeplearningbook.org>.
- [7] Graves, A.; Fernández, S.; Gomez, F.; aj.: Connectionist Temporal Classification: Labelling Unsegmented Sequence Data with Recurrent Neural Networks. In *Proceedings of the 23rd International Conference on Machine Learning, ICML '06*, New York, NY, USA: ACM, 2006, ISBN 1-59593-383-2, s. 369–376.
- [8] He, K.; Zhang, X.; Ren, S.; aj.: Deep Residual Learning for Image Recognition. In *2016 IEEE Conference on Computer Vision and Pattern Recognition (CVPR)*, June 2016, ISSN 1063-6919, s. 770–778.
- [9] Hochreiter, S.; Schmidhuber, J.: Long Short-Term Memory. *Neural Comput.*, ročník 9, č. 8, Listopad 1997: s. 1735–1780, ISSN 0899-7667.
- [10] Jaderberg, M.; Simonyan, K.; Zisserman, A.; aj.: Spatial Transformer Networks. *CoRR*, ročník abs/1506.02025, 2015, 1506.02025.
URL <http://arxiv.org/abs/1506.02025>
- [11] Jain, L. C.; Medsker, L. R.: *Recurrent Neural Networks: Design and Applications*. Boca Raton, FL, USA: CRC Press, Inc., první vydání, 1999, ISBN 0849371813.
- [12] Karpinski, R.; Lohani, D.; Belaid, A.: Metrics for Complete Evaluation of OCR Performance. In Arabnia aj. [1], s. 23–29.

- [13] Li, H.; Wang, P.; Shen, C.: Towards End-to-End Text Spotting with Convolutional Recurrent Neural Networks. 10 2017, s. 5248–5256.
- [14] Lin, T.-Y.; Dollar, P.; Girshick, R.; aj.: Feature Pyramid Networks for Object Detection. In *The IEEE Conference on Computer Vision and Pattern Recognition (CVPR)*, July 2017.
- [15] Liu, X.; Liang, D.; Yan, S.; aj.: FOTS: Fast Oriented Text Spotting With a Unified Network. In *The IEEE Conference on Computer Vision and Pattern Recognition (CVPR)*, June 2018.
- [16] Neubeck, A.; Gool, L. V.: Efficient Non-Maximum Suppression. In *18th International Conference on Pattern Recognition (ICPR'06)*, ročník 3, Aug 2006, ISSN 1051-4651, s. 850–855.
- [17] Pan, S. J.; Yang, Q.: A Survey on Transfer Learning. *IEEE Trans. on Knowl. and Data Eng.*, ročník 22, č. 10, Říjen 2010: s. 1345–1359, ISSN 1041-4347, doi:10.1109/TKDE.2009.191.
URL <http://dx.doi.org/10.1109/TKDE.2009.191>
- [18] Rezatofighi, S. H.; Tsoi, N.; Gwak, J.; aj.: Generalized Intersection over Union: A Metric and A Loss for Bounding Box Regression. *CoRR*, ročník abs/1902.09630, 2019, 1902.09630.
URL <http://arxiv.org/abs/1902.09630>
- [19] Skovajsová, L.: Long short-term memory description and its application in text processing. In *2017 Communication and Information Technologies (KIT)*, Oct 2017, s. 1–4.
- [20] You, Y.; Hseu, J.; Ying, C.; aj.: Large-Batch Training for LSTM and Beyond. *CoRR*, ročník abs/1901.08256, 2019, 1901.08256.
URL <http://arxiv.org/abs/1901.08256>
- [21] Zhong, Y.; Wang, J.; Peng, J.; aj.: Anchor Box Optimization for Object Detection. *CoRR*, ročník abs/1812.00469, 2018, 1812.00469.
URL <http://arxiv.org/abs/1812.00469>
- [22] Zhou, X.; Yao, C.; Wen, H.; aj.: EAST: An Efficient and Accurate Scene Text Detector. In *2017 IEEE Conference on Computer Vision and Pattern Recognition (CVPR)*, July 2017, ISSN 1063-6919, s. 2642–2651.

Příloha A

Návod k použití

Projektu lze vytvořit virtuální prostředí python, kde všechny závislosti projektu jsou staženy pomocí příkazu: `pip install -r requirements.txt` Další možností pro vytvoření prostředí je použití poskytnutého docker konfiguračního souboru pro nastavení prostředí pro nvidia-docker.

Dále je možné spustit program pomocí příkazů:

Trénování

```
$ python3 train.py --config /cesta/ke/configu
```

Tento příkaz spustí trénování modelu na základě informací uvedených v konfiguračním souboru.

Inference

```
$ python3 inference.py --config /cesta/ke/configu -o /cesta/do/výstupní/složky
```

/cesta/k/obrazku Tento příkaz provede inferenci natrénovaného modelu nad poskytnutým obrázkem.